

M7.2 Kumamoto Earthquake

14 and 15 april 2016

-

A compilation of data and results with focus
on surface rupture

By Stéphane Baize (IRSN) for the INQUA Project
SURFACE



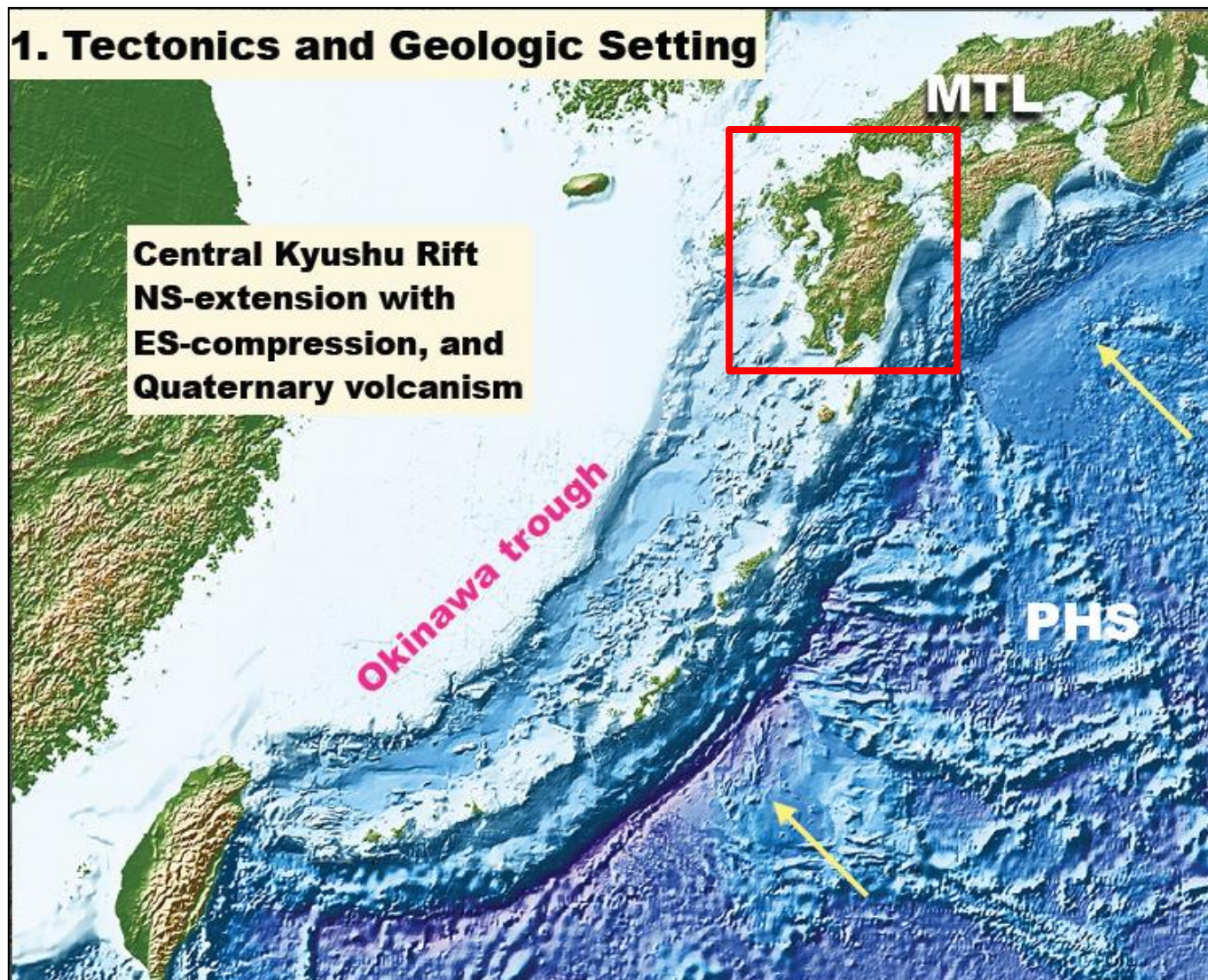
INQUA
International Union for Quaternary Research

IRSN
INSTITUT
DE RADIOPROTECTION
ET DE SÛRETÉ NUCLÉAIRE

Main sources of information:

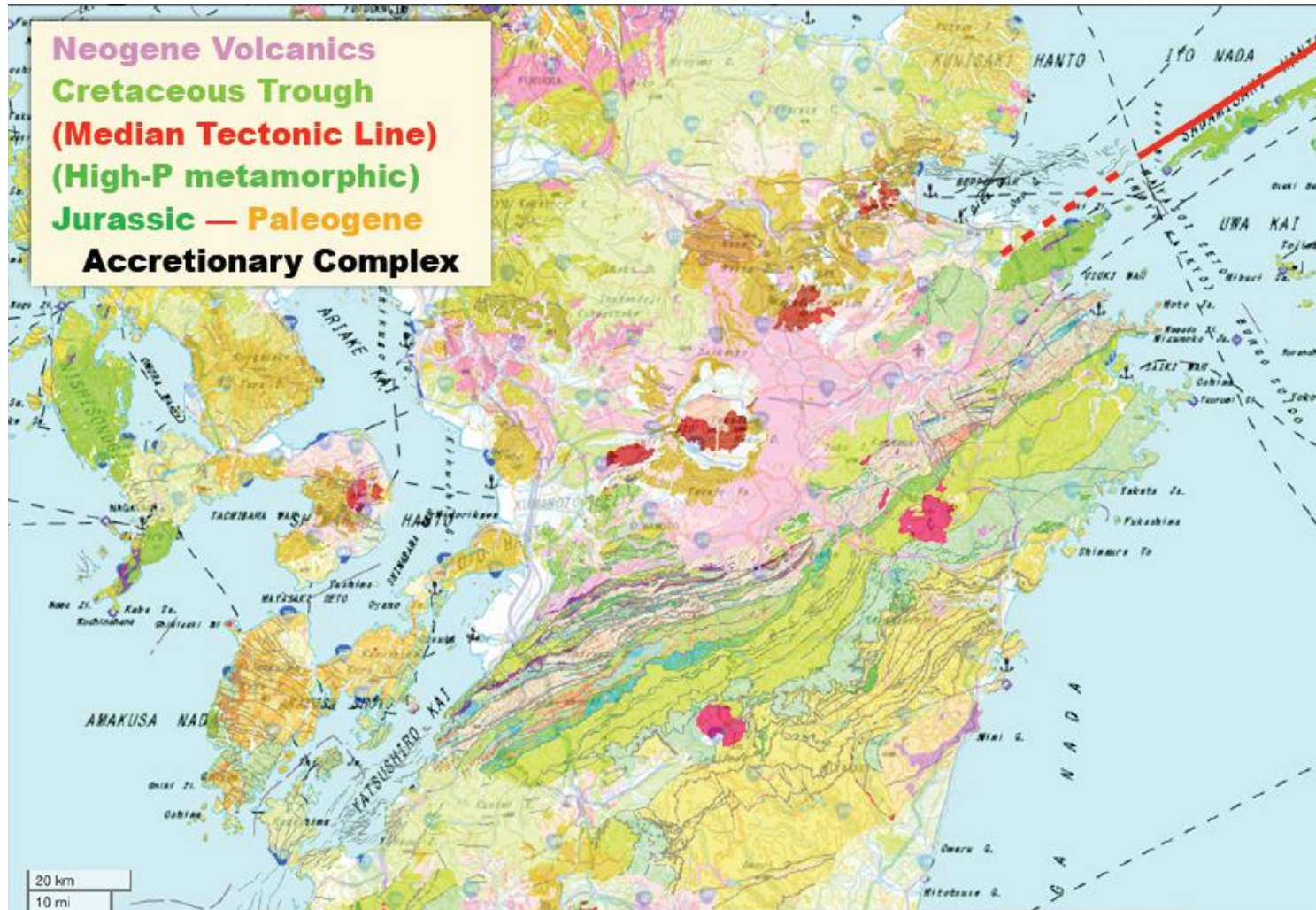
- GSI: Geospatial Information Authority of Japan
- GSJ: Geological Survey of Japan
- AIST: Active Fault Database of Japan
- J-SHIS: Japan Seismic Hazard Information
- USGS: United States Geological Survey
- IPGP: Institut de Physique du Globe de Paris
- PASCO Corporation, Japan

Geodynamics of the area



Surface faulting during 2016 Kumamoto
Earthquake - Compilation by S. Baize (IRSN)

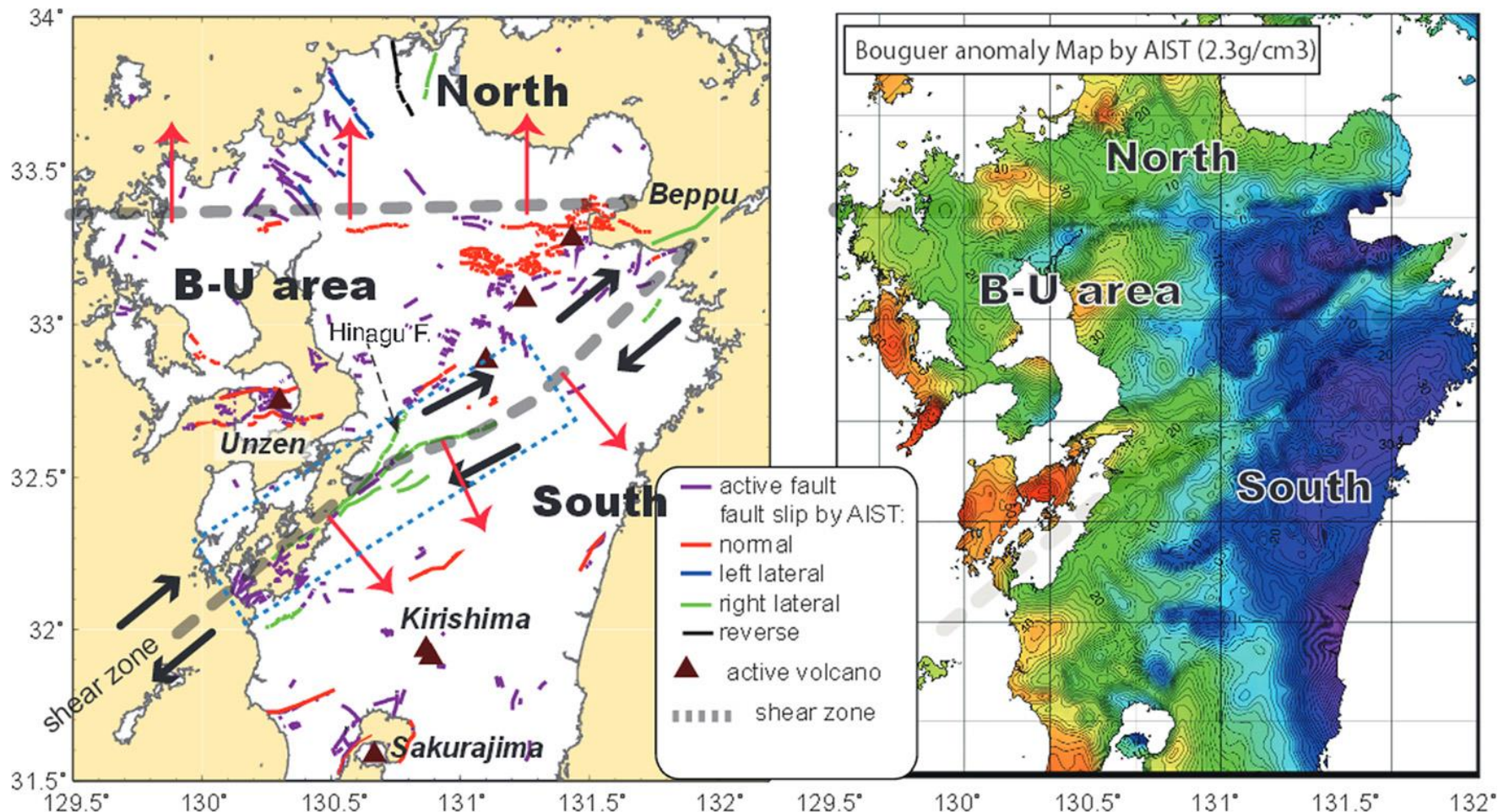
Geodynamics of the area



Credit: K. Okumura

Surface faulting during 2016 Kumamoto Earthquake - Compilation by S. Baize (IRSN)

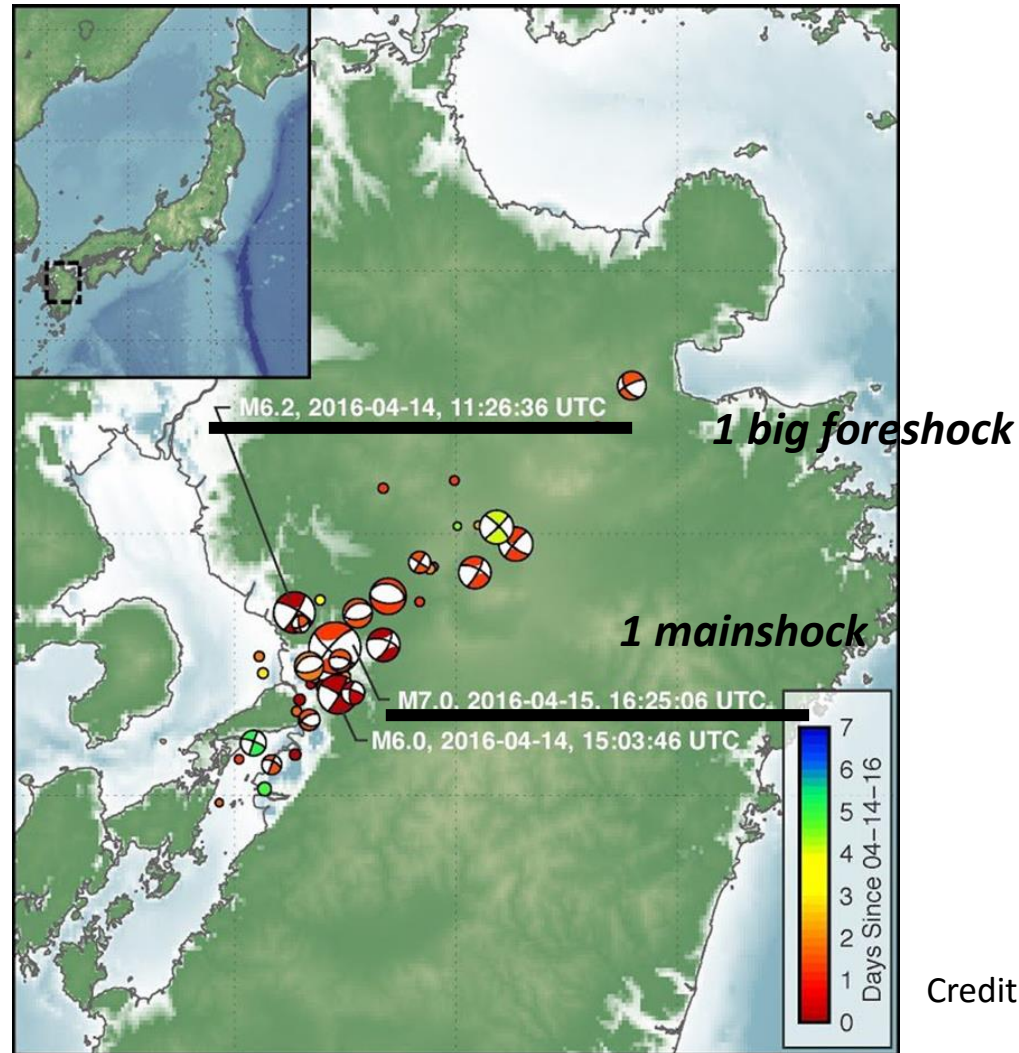
Geodynamics



Matsumoto et al. Earth, Planets and Space (2015)

The earthquake sequence

Focal mechanisms of sequence



Credit: USGS (19 April)

Surface faulting during 2016 Kumamoto
Earthquake - Compilation by S. Baize (IRSN)

Earthquake description:

Location (USGS): KYUSHU, JAPAN


UTC Date (USGS): 2016/04/15 16:25:06

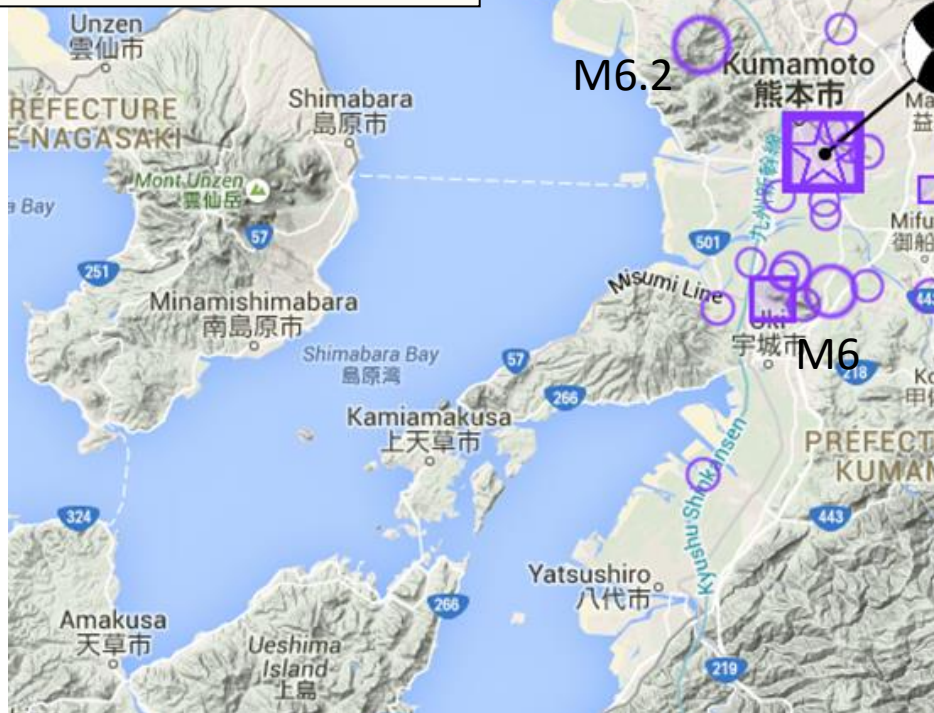
Latitude (USGS): 32.782°

Longitude (USGS): 130.726°

Magnitude (SCARDEC): 7.0 Mw

Depth (SCARDEC): 8 km

Mechanism (SCARDEC): 



M6.2

Kumamoto
熊本市

M7

M6

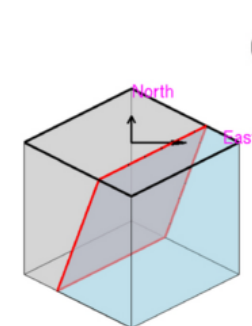


KYUSHU, JAPAN, 2016/04/15-16h25m06s

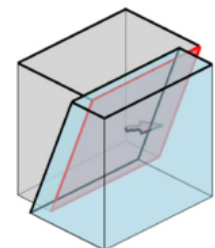
Earthquake mechanism on the two possible fault planes



FAULT PLANE 1



Before Earthquake



During earthquake

Right lateral movement with a normal component on a 69° NO dipping fault
Fault azimuth is orientated SO-NE (strike = 225°)

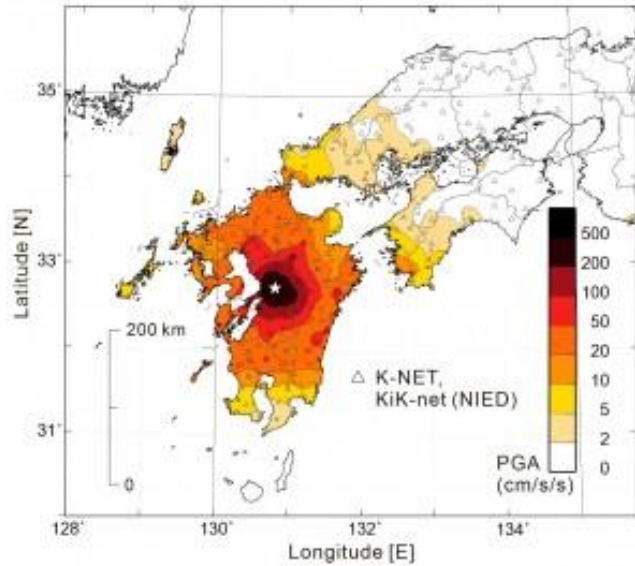
Credit: IPGP

Mainshock: strike N225°, dip 70°
Right-lateral with normal component

Surface faulting during 2016 Kumamoto
Earthquake - Compilation by S. Baize (IRSN)

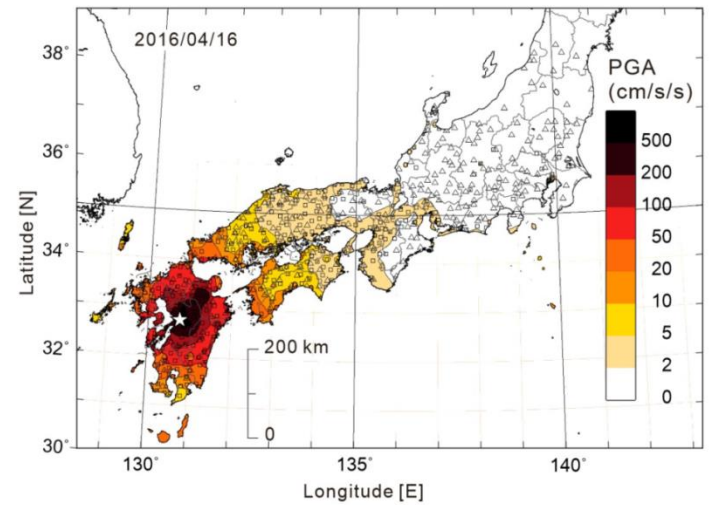
Acceleration

Foreshock

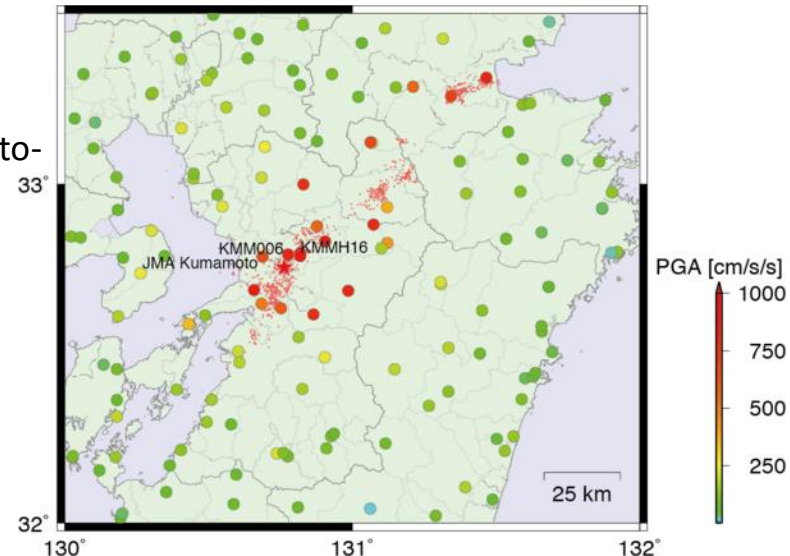
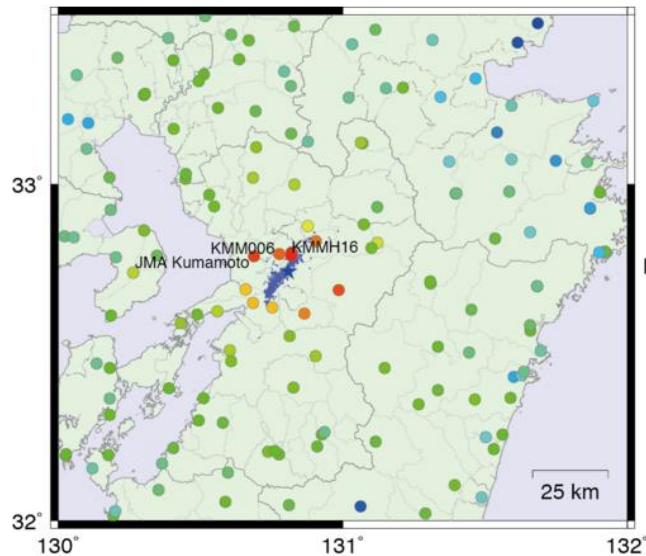


Source:
www.eri.u-tokyo.ac.jp/

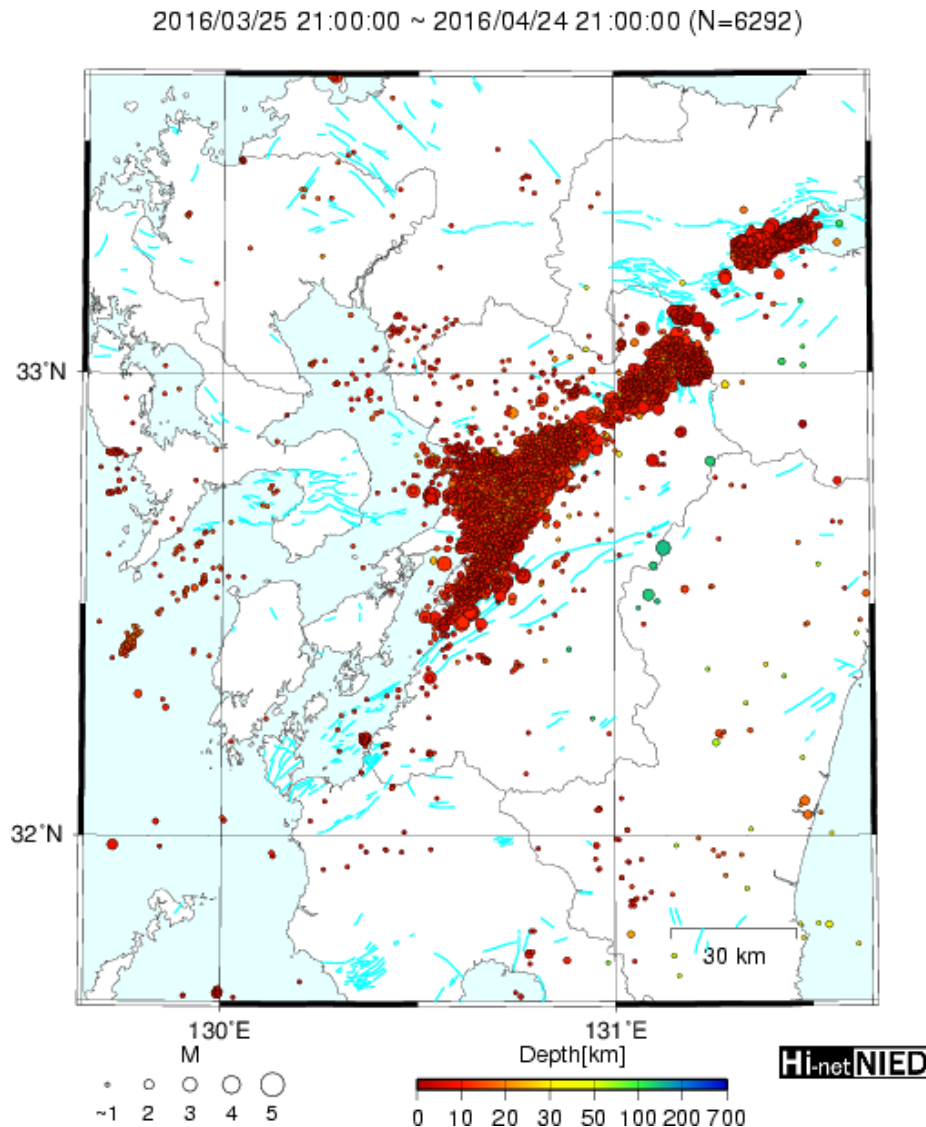
Mainshock



Source:
<http://www.catfish.dpri.kyoto-u.ac.jp/>



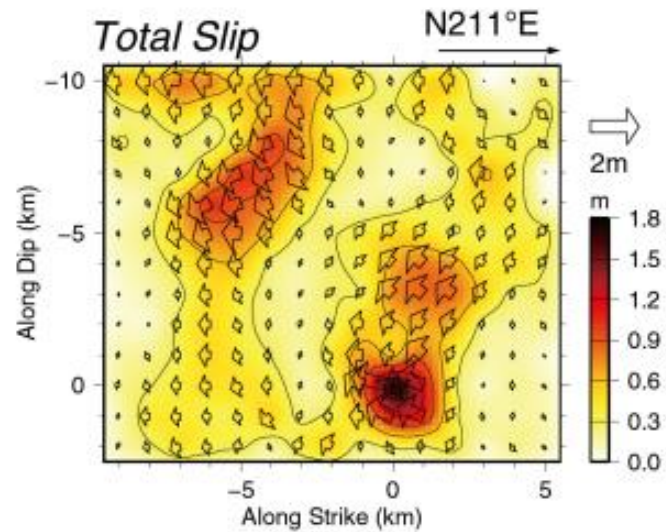
Map of foreshocks, mainshock & aftershocks



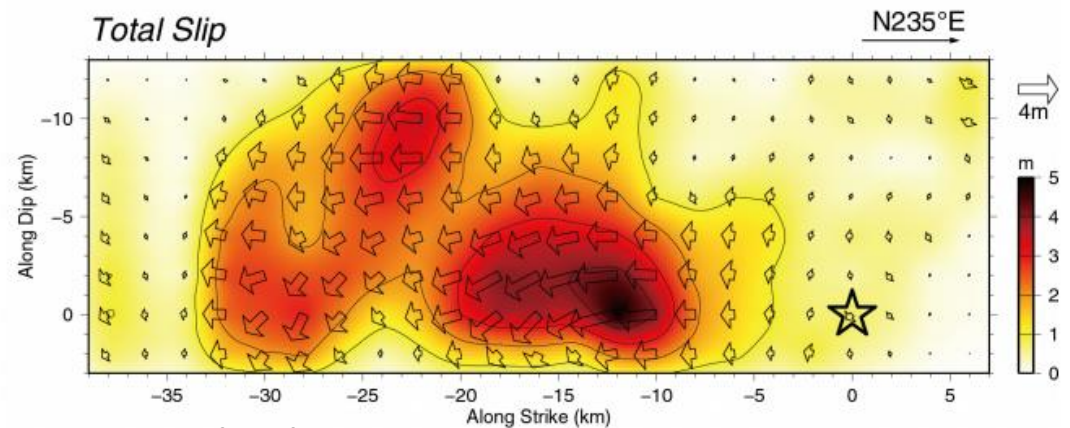
Surface faulting during 2016 Kumamoto
Earthquake - Compilation by S. Baize (IRSN)

Slip Models

Foreshock

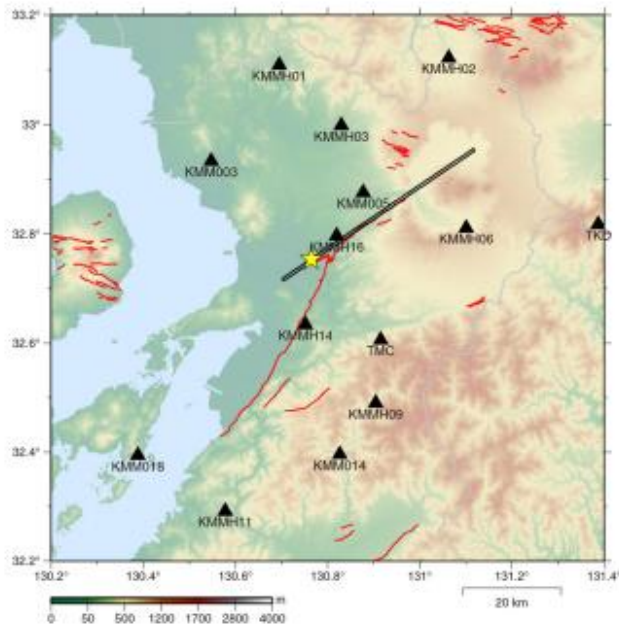
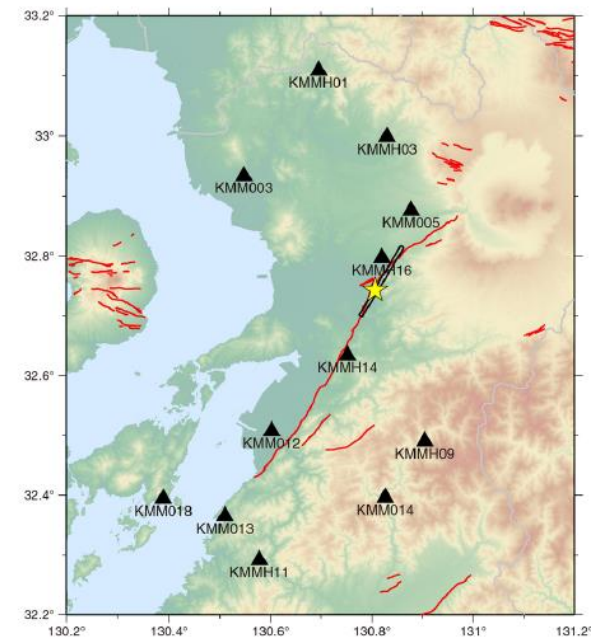


Total Slip N235°E



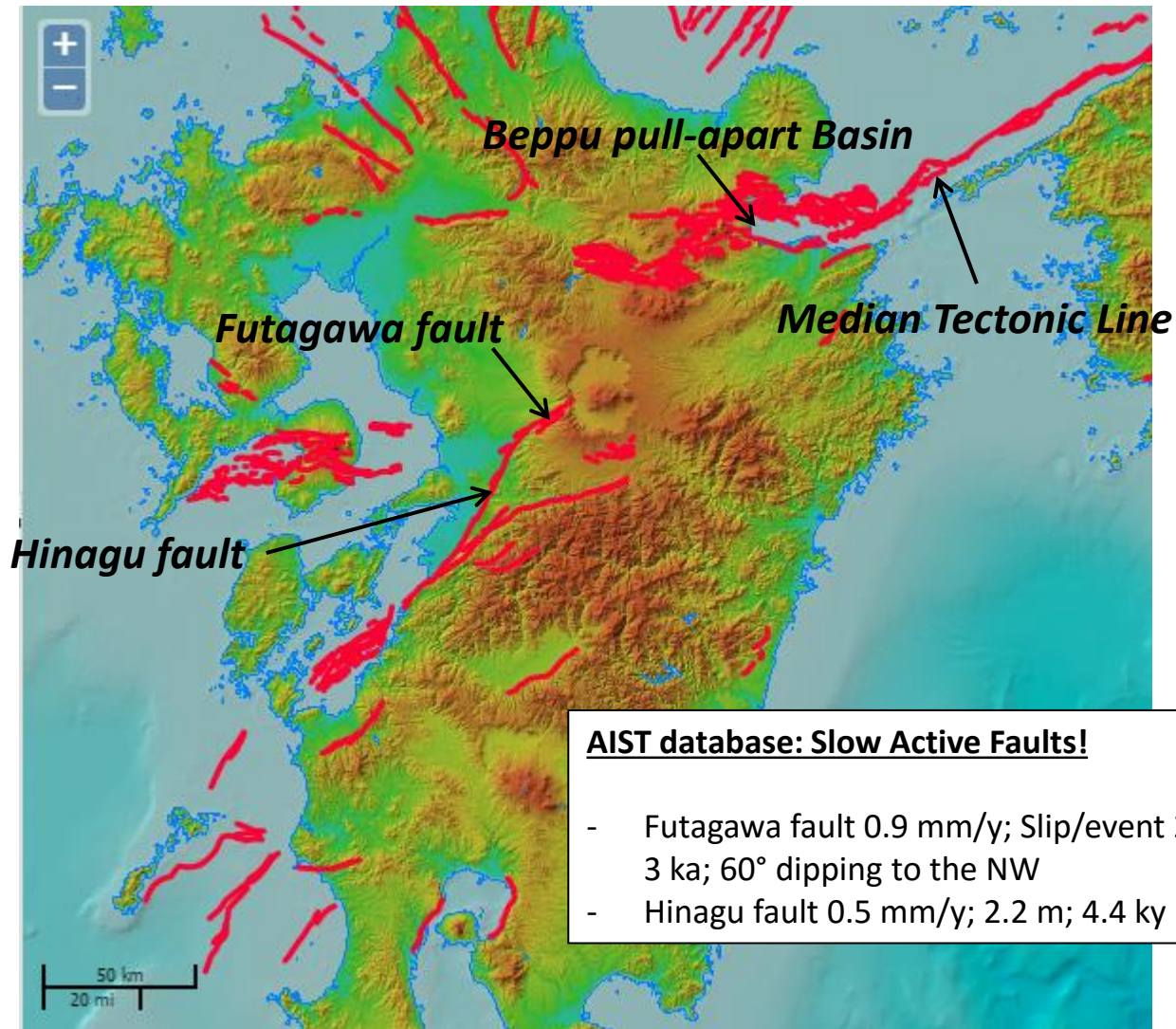
Mainshock

Credit: <http://sms.dpri.kyoto-u.ac.jp/k-asano/>

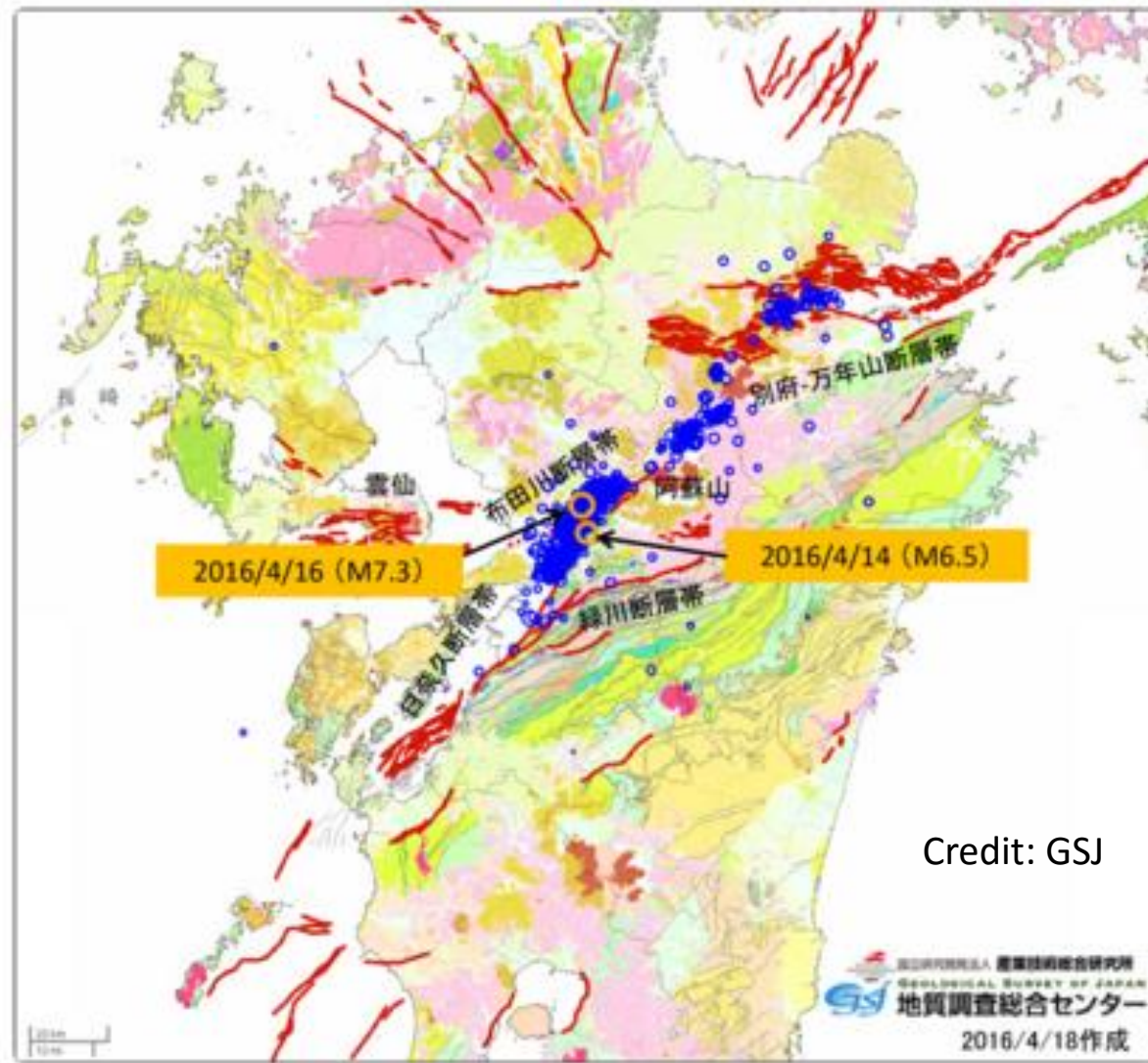


Surface faulting during 2016 Kumamoto
Earthquake - Compilation by S. Baize (IRSN)

Active faults



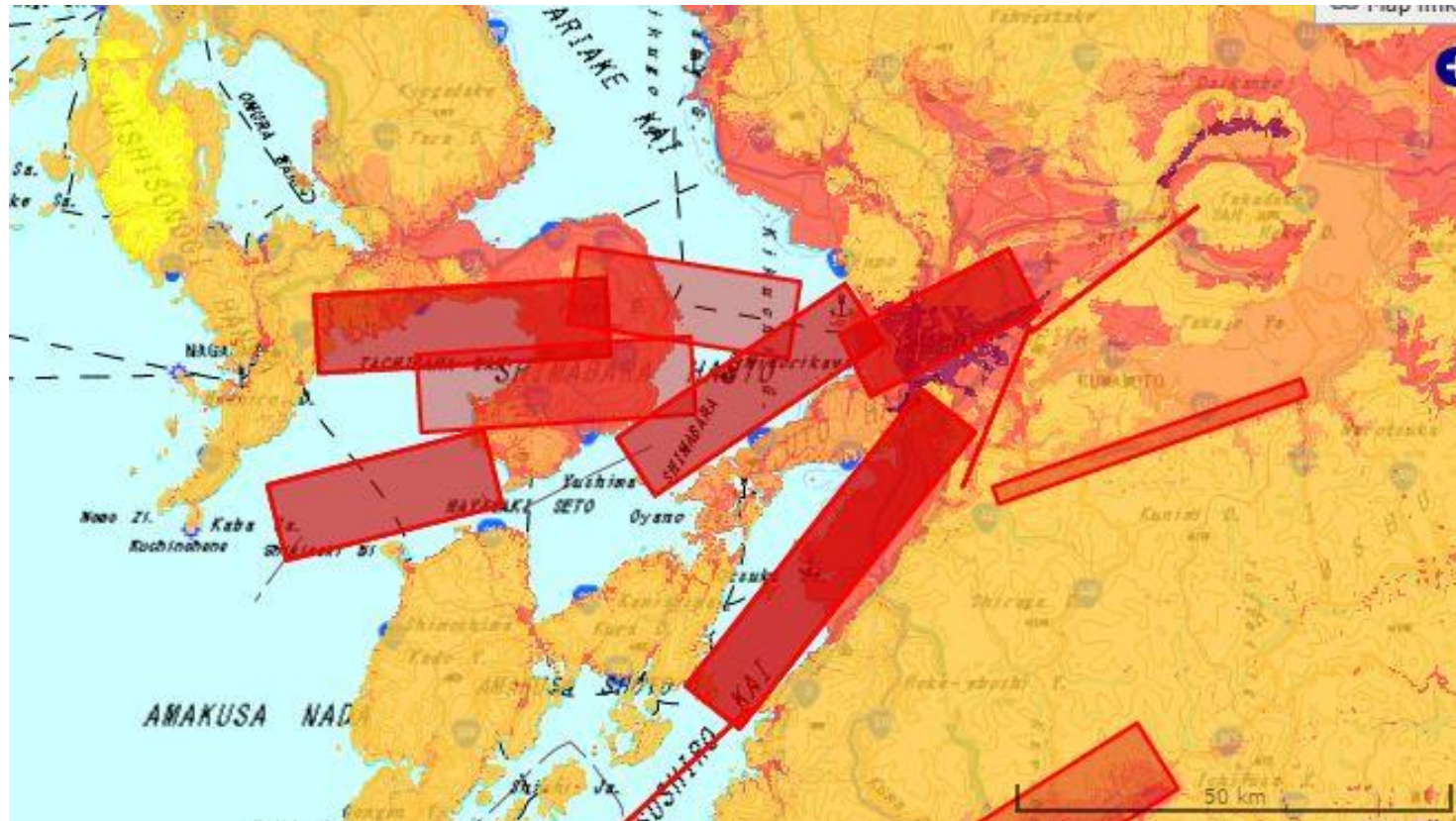
Active Fault Map and 2016 epicenters



Credit: GSI

Surface faulting during 2016 Kumamoto Earthquake - Compilation by S. Baize (IRSN)

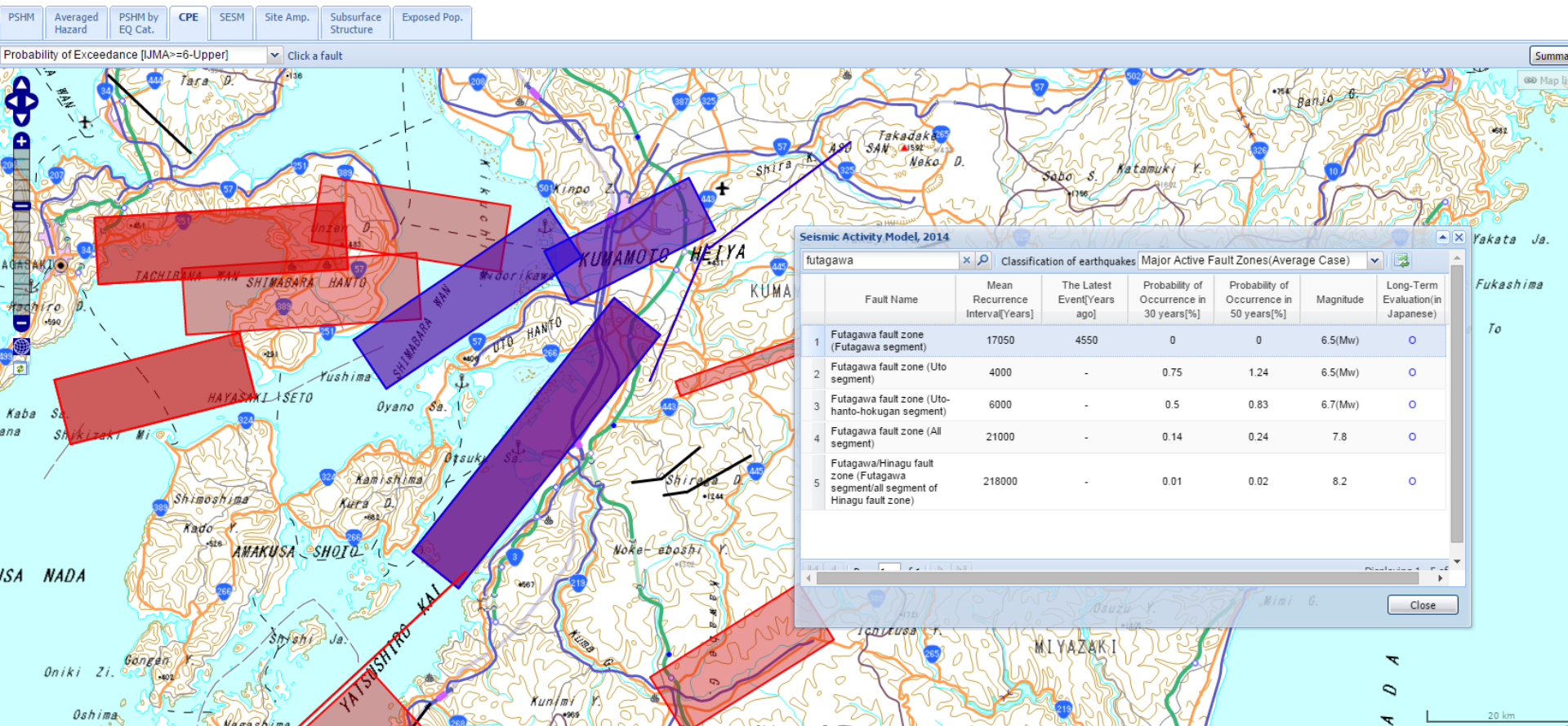
Modeled Seismogenic Sources



Credit: j-shis

Surface faulting during 2016 Kumamoto
Earthquake - Compilation by S. Baize (IRSN)

A snapshot of the sources parameters for the 2016 ruptures faults

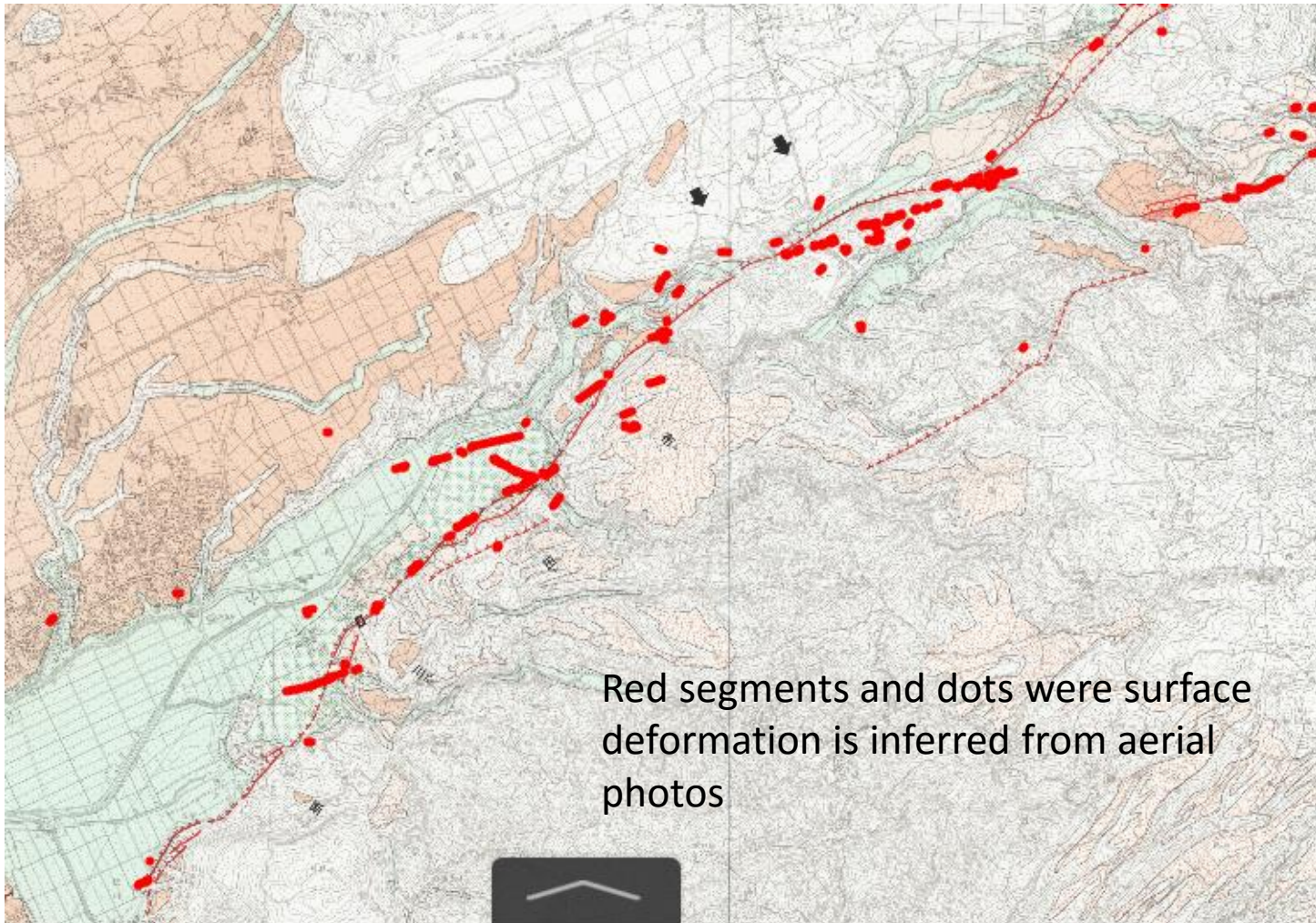


Credit: j-shis

Surface faulting during 2016 Kumamoto Earthquake - Compilation by S. Baize (IRSN)

Surface Rupture

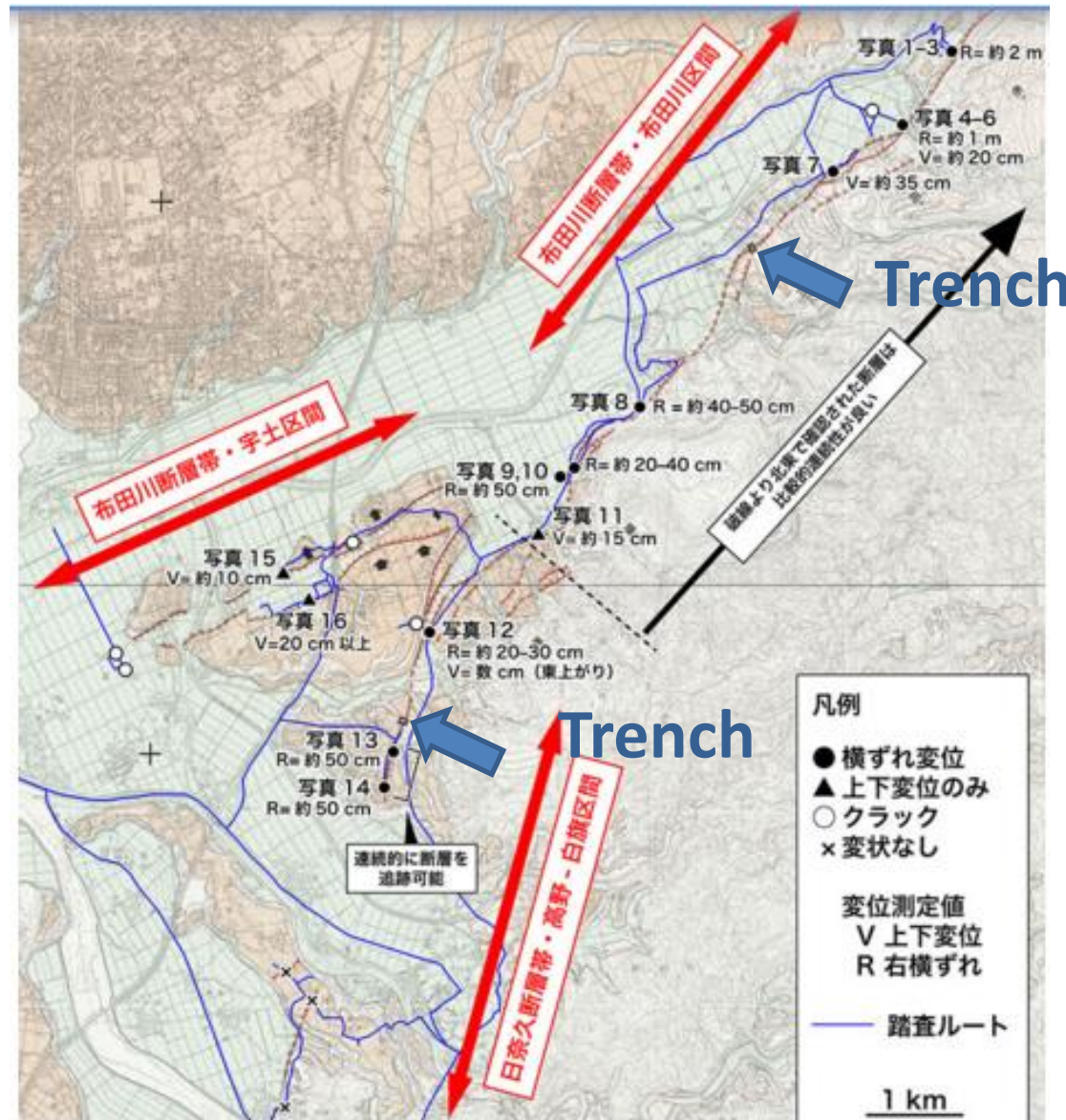
- Occurred on a mapped fault...



Surface faulting during 2016 Kumamoto Earthquake - Compilation by S. Baize (IRSN)

Source: GSI

Paleoearthquake information



Source GSJ

Surface faulting during 2016 Kumamoto Earthquake - Compilation by S. Baize (IRSN)

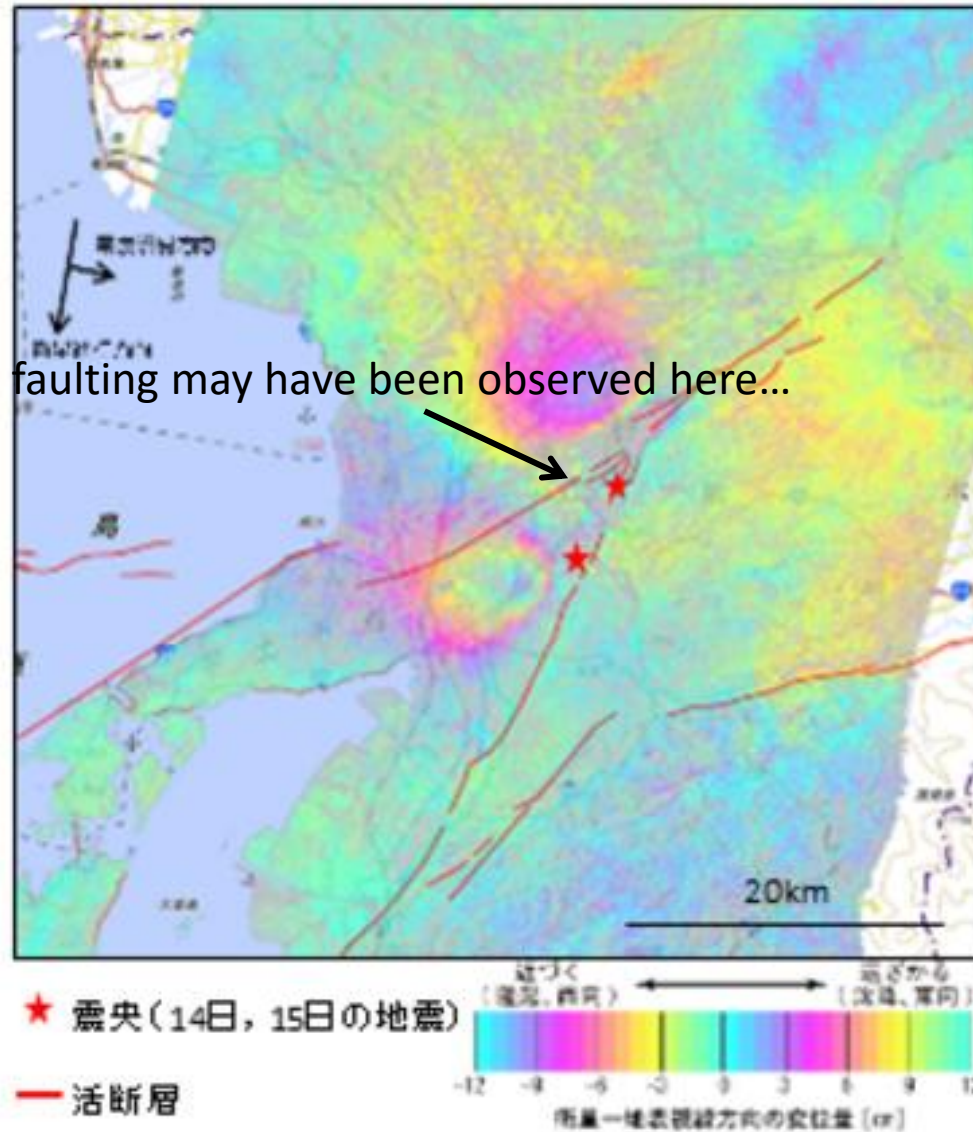
AIST Database → Paleoearthquake information

Ex. Futagawa Fault

trend	60°	
dip	60 ° N	
length	24 km	
sense of faulting	R-lat.	
upthrown side	S	
slip rate	0.9 m/ky	estimate based on vertical displacement of sediments (Kumamoto, 1996)
slip per event	2.8 m	calculated based on empirical relationship between segment length and slip per event proposed by Awata (1999)
recurrence interval	3.1 ky	calculated from the slip rate and the slip per event
age of the last faulting	field data	AD -4772 to -270 estimated from the exposures at the bank of the Shirakawa River (Genshiryoku hatsuden-gijutsukiko, 1997) and Tanaka trench (Yoshioka et al, 2007)
	historical record	
elapsed time rate	1.44	
rupture probability in next 30 years (by BPT distribution model)	ca 6 %	
rupture probability in next 30 years (by Poisson process model)	ca 1 %	
Investigation Sites	GO	
Displacements	GO	
Faulting Events	GO	

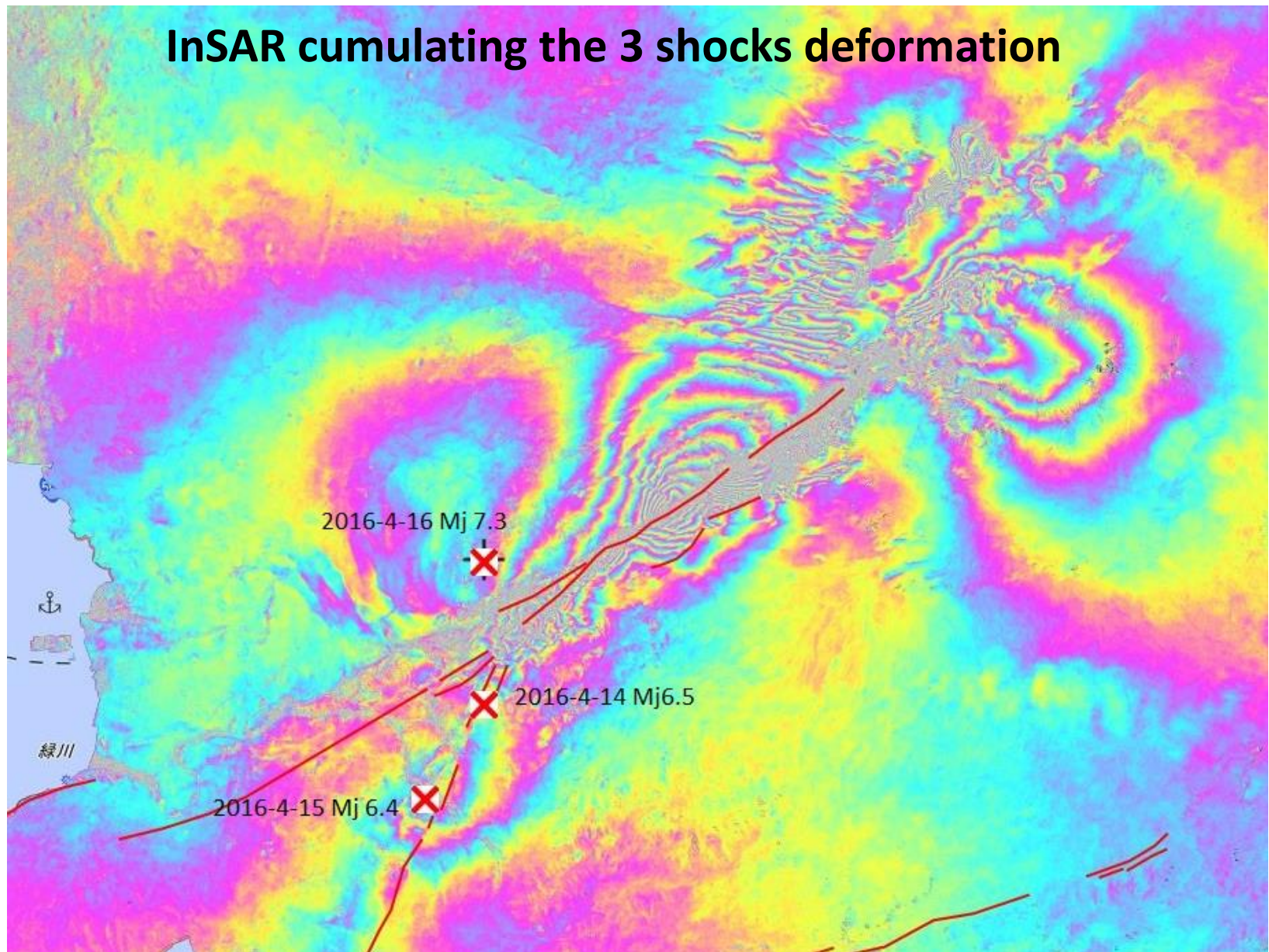
InSAR cumulating the effects of the M6 foreshocks

Foreshocks' Surface faulting may have been observed here...



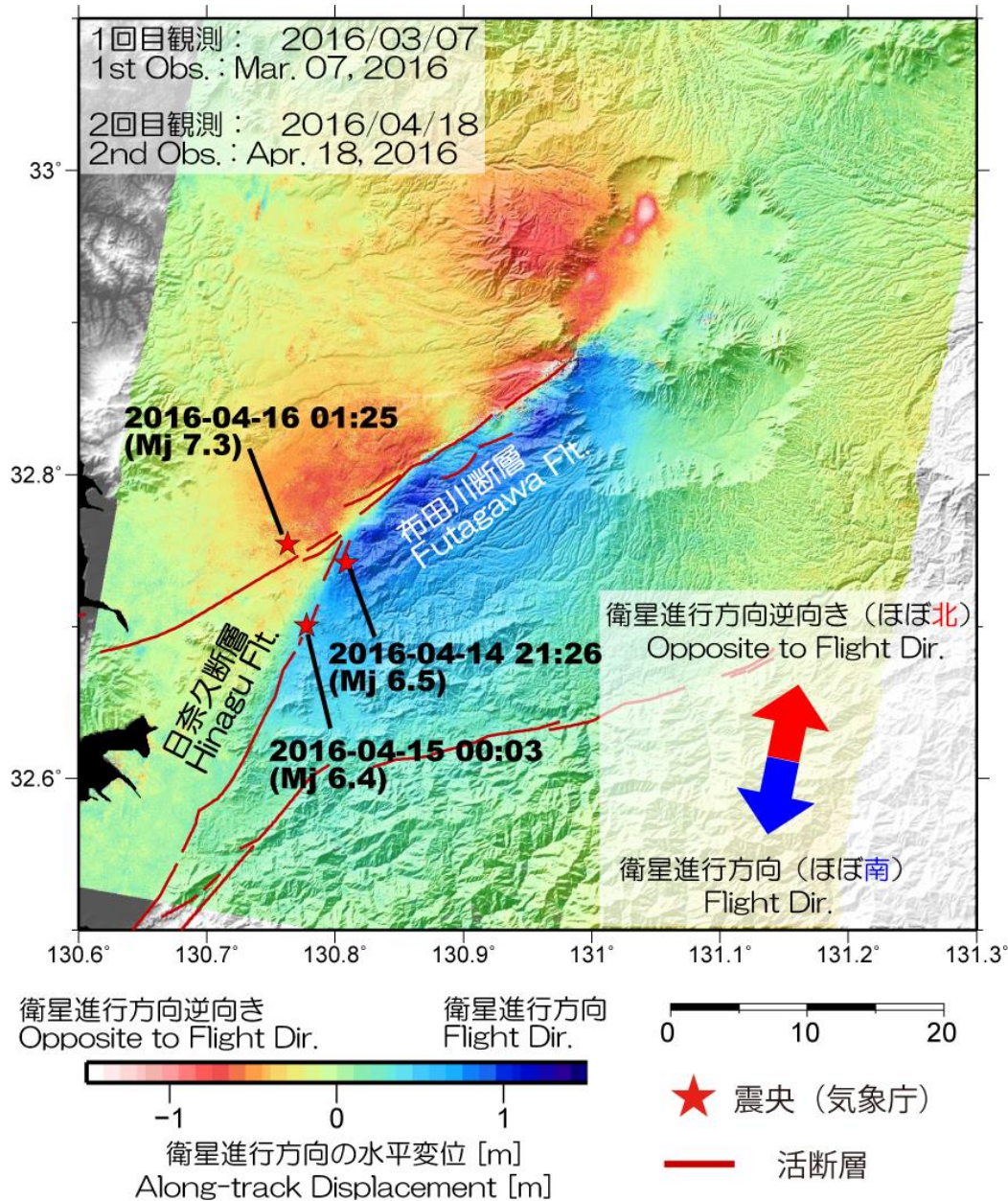
Source GSI

InSAR cumulating the 3 shocks deformation



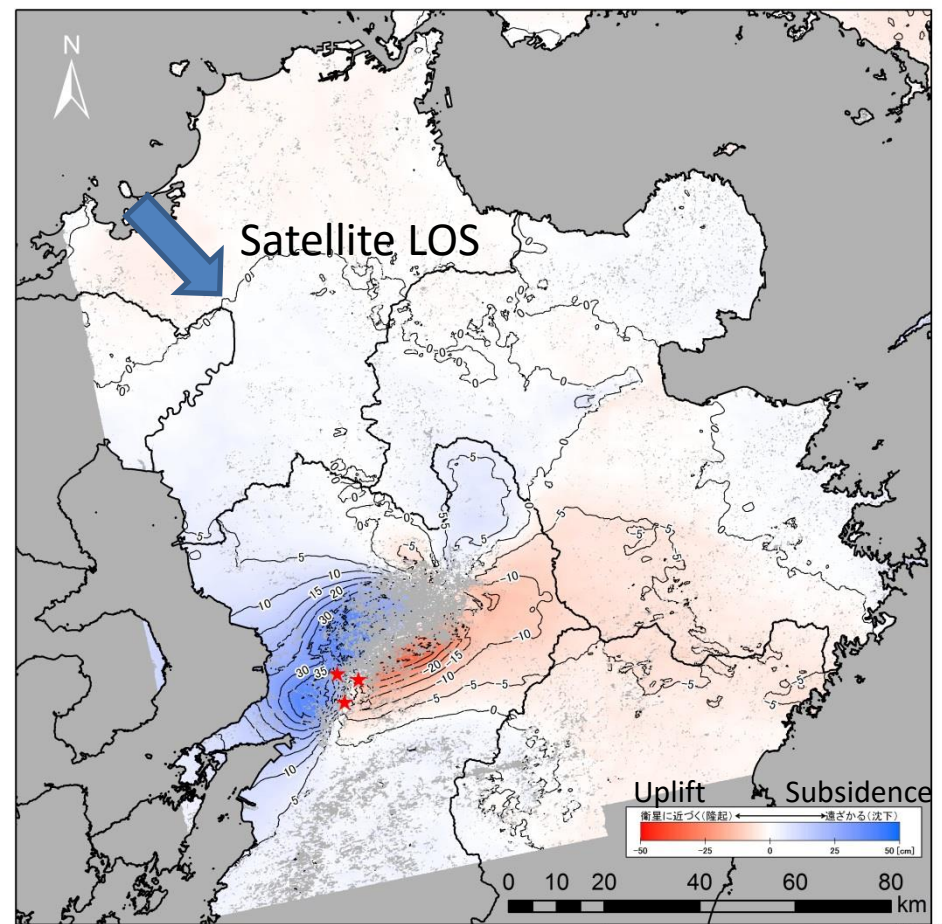
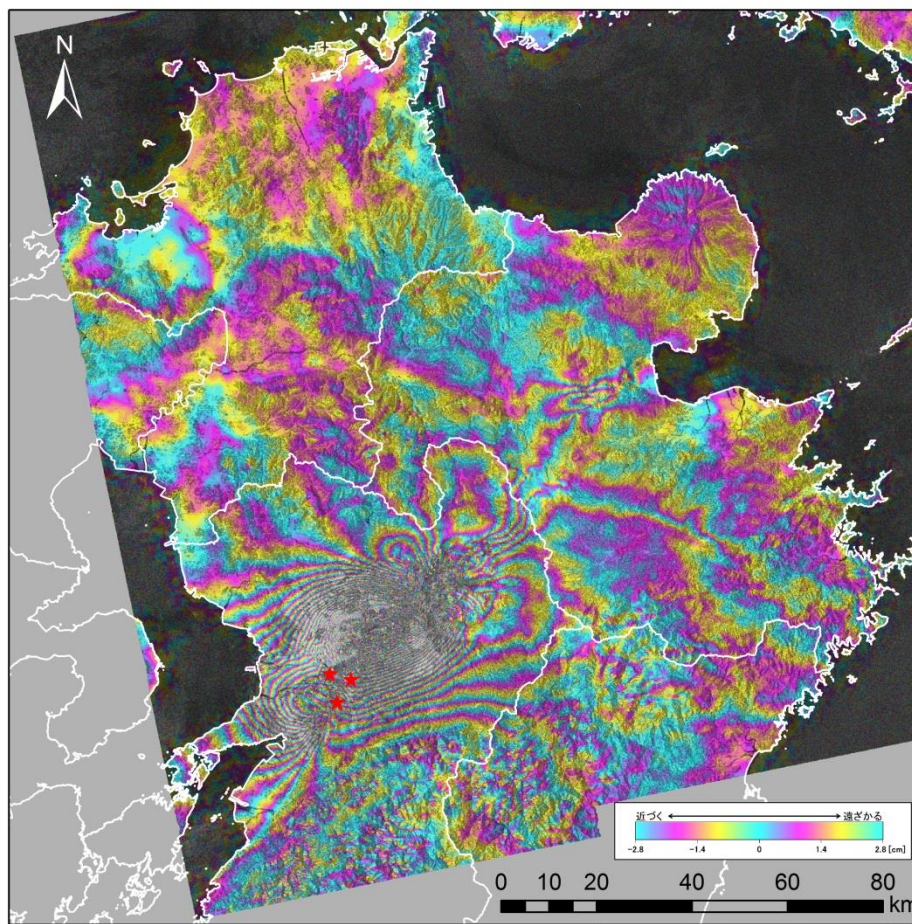
Surface faulting during 2016 Kumamoto
Earthquake - Compilation by S. Baize (IRSN)

Source GSI



Source GSI

Surface faulting during 2016 Kumamoto
Earthquake - Compilation by S. Baize (IRSN)



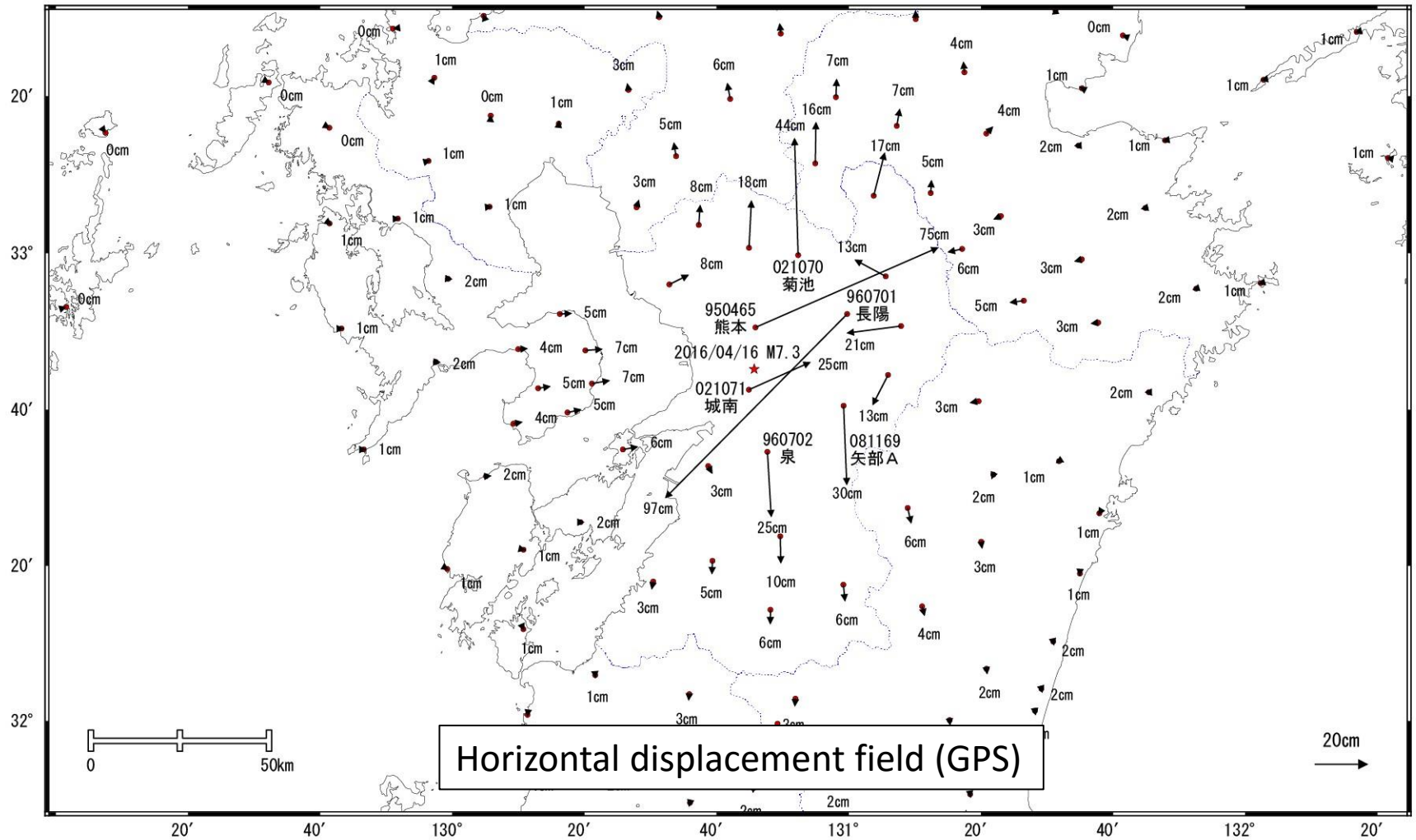
Sentinel1 SAR interferogram and derived deformation map

http://www.kkc.co.jp/service/bousai/csr/disaster/201604_kumamoto

地殻変動(水平)

Source GSI

基準期間:2016/04/15 03:00~2016/04/15 23:59[Q3:迅速解]
比較期間:2016/04/16 02:00~2016/04/16 05:59[S3:迅速解]



☆ 固定局: 福江 (950462)

国土地理院

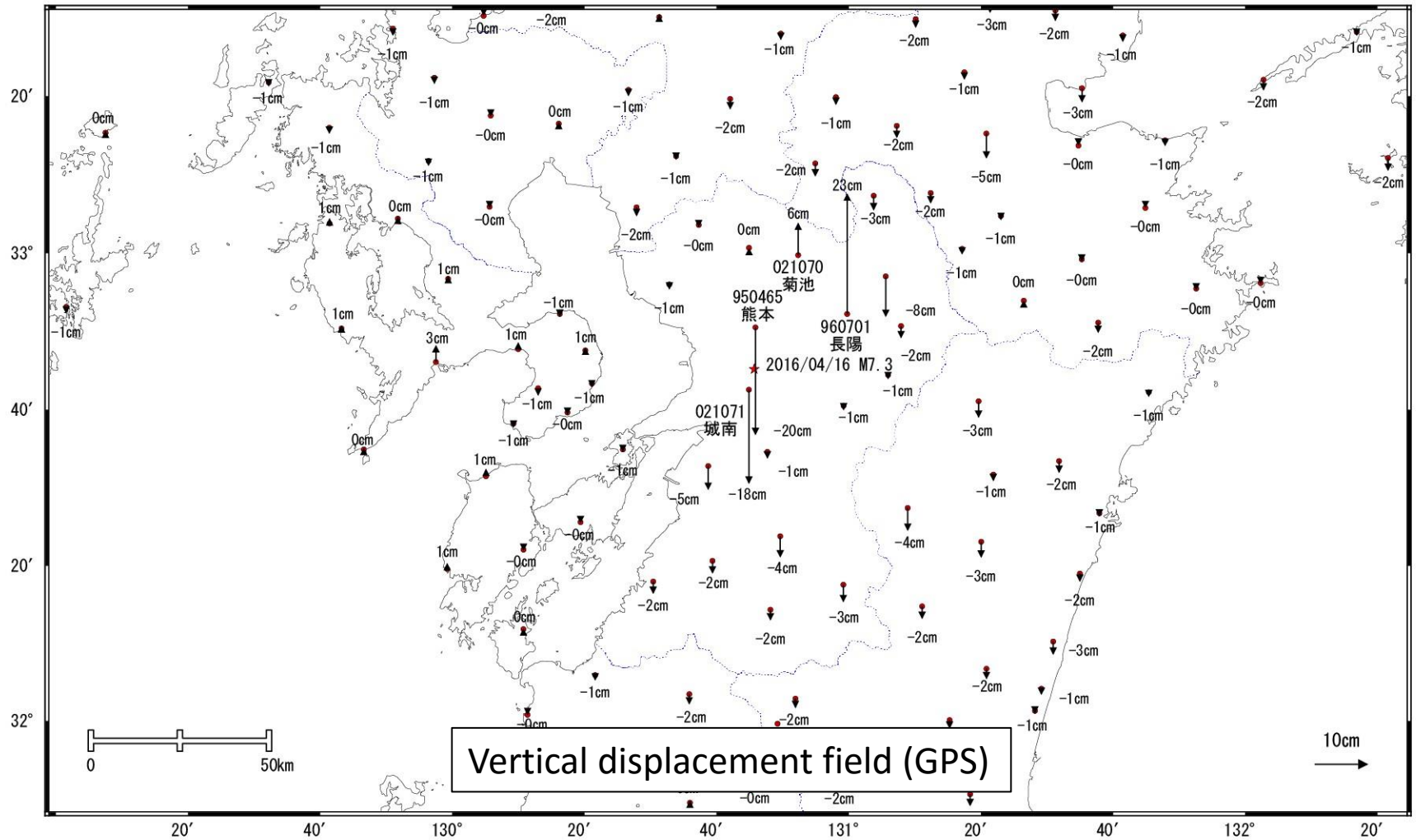
平成28年 4月16日の熊本県熊本地方の地震(M7.3) (暫定値) 前後の観測データ (2)

暫定

地殻変動(上下)

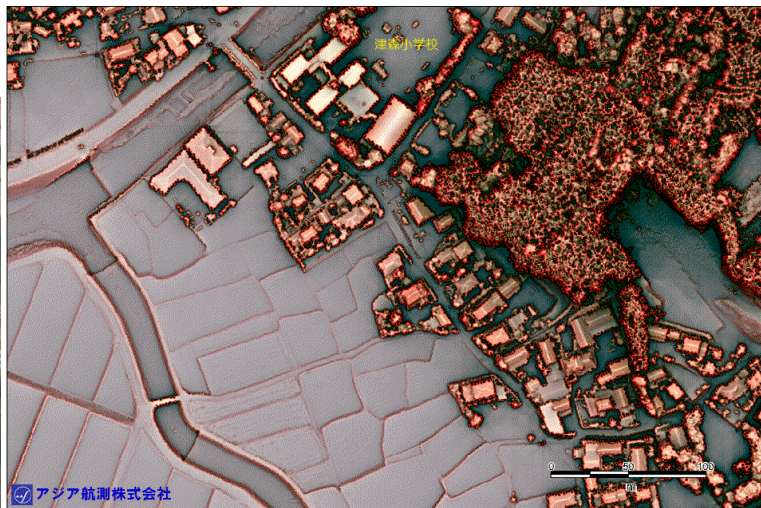
基準期間: 2016/04/15 03:00~2016/04/15 23:59 [Q3: 迅速解]
比較期間: 2016/04/16 02:00~2016/04/16 05:59 [S3: 迅速解]

Source GSI

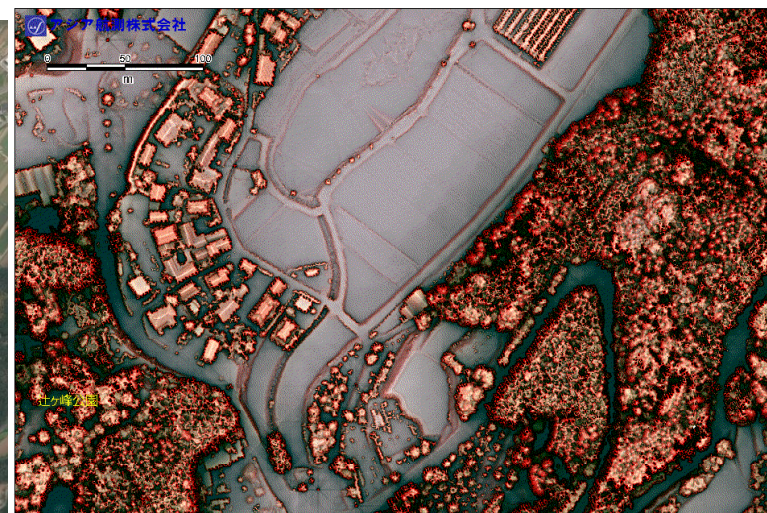


☆ 固定局: 福江 (950462)

国土地理院

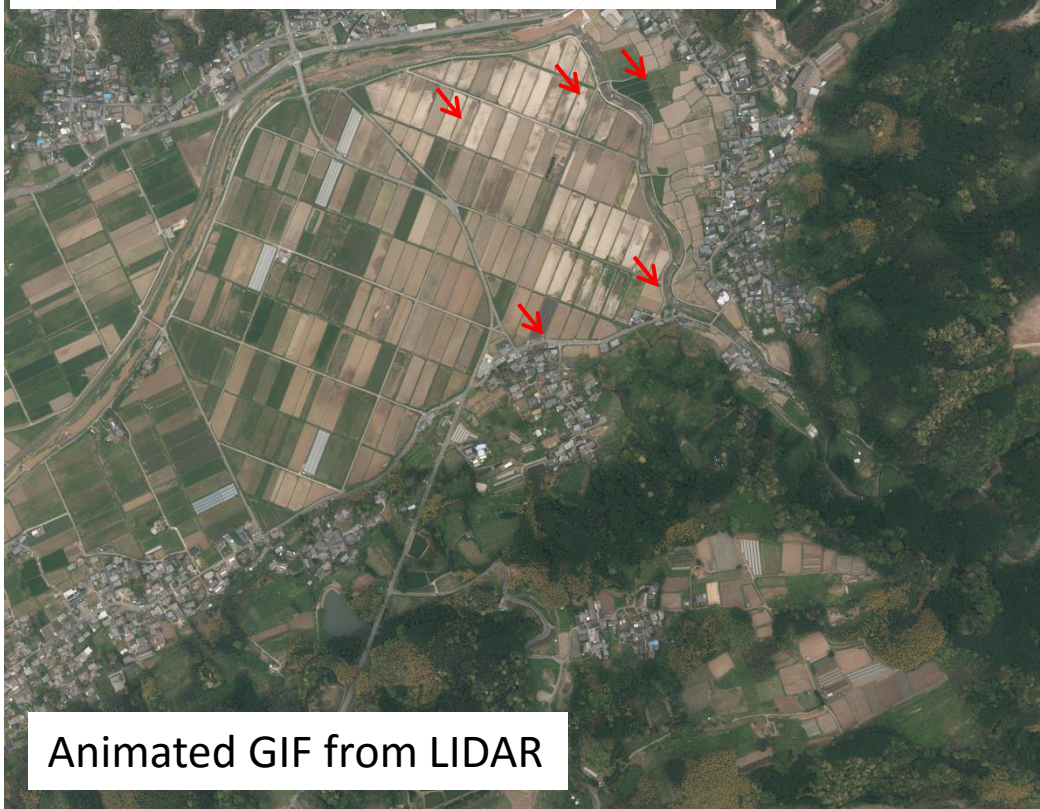


4/15計測 DSMデータによる赤色立体地図
益城町 津森小学校周辺

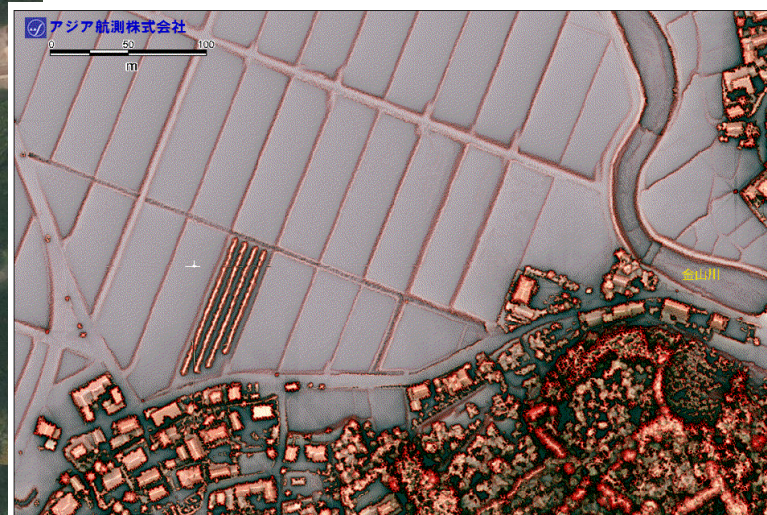


4/15計測 DSMデータによる赤色立体地図
上陳地区周辺

http://saigai.gsi.go.jp/1/H28_kumamotojishin/nishihara0416/photo/qv/0269-qv.jpg
http://www.ajiko.co.jp/saigai/kumamoto_2016_042/gif_a.gif



Animated GIF from LIDAR



4/15計測 DSMデータによる赤色立体地図
下陳地区周辺

Video Footages available on GSI website (Futagawa Fault)

<https://www.youtube.com/watch?v=umKIDwxkuYg&feature=youtu.be>



Surface faulting during 2016 Kumamoto Earthquake - Compilation by S. Baize (IRSN)

【国土地理院】 益城町下陳周辺の断層



Surface faulting during 2016 Kumamoto Earthquake - Compilation by S. Baize (IRSN)

【国土地理院】 益城町下陳周辺の断層



Surface faulting during 2016 Kumamoto
Earthquake - Compilation by S. Baize (IRSN)

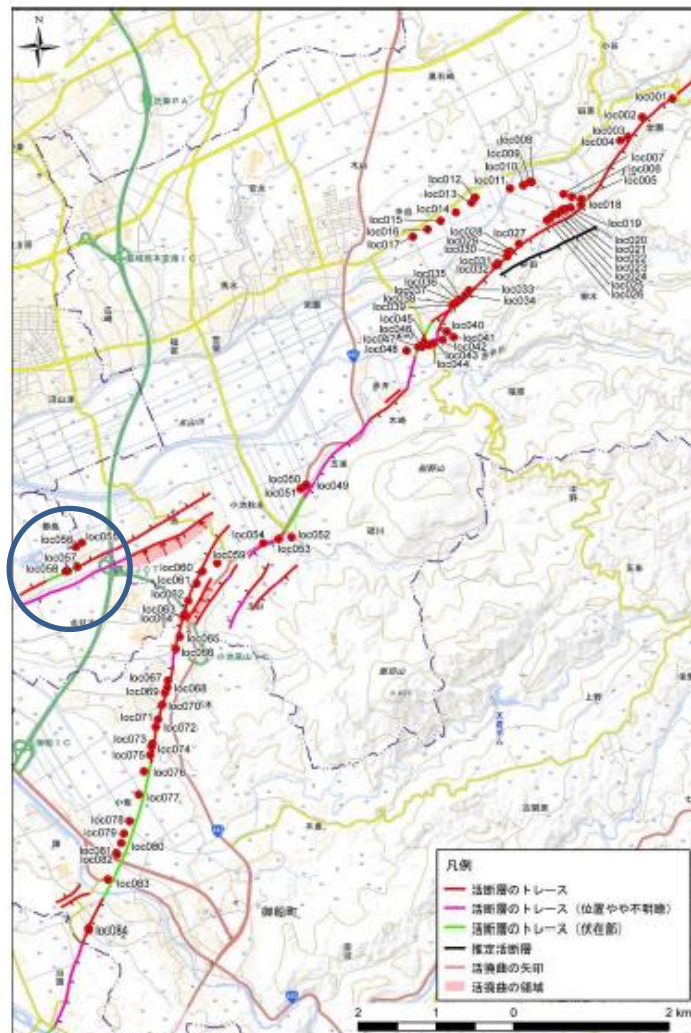
Field survey



地点3 (堂園)
右横ずれ 約2m

Was there Rupture during foreshock?

The PASCO team reports evidences of fractures with displacement before the mainshock
http://www.pasco.co.jp/disaster_info/160415/images/20160418-02.pdf



・背景図は国土院の電子国土地図を使用
 ・本図には、中田 高・今泉俊文編2002、「活断層詳細デジタルマップ」、東京大学出版会の「活断層シェープファイル」を使用した(製品シリアル番号:DAFM2041)

田中隆太郎

loc056



熊本県上益城郡
 益城町棚島(嘉島 JCT 北西)

アスファルト舗装および圃場に現れたクラック
 高度差はほとんどない

loc057



熊本県上益城郡
 嘉島町井寺(嘉島 JCT 西)

農道に現れたクラック
 高度差はほとんどない

写真は 16 日未明の地震前である 15 日に撮影

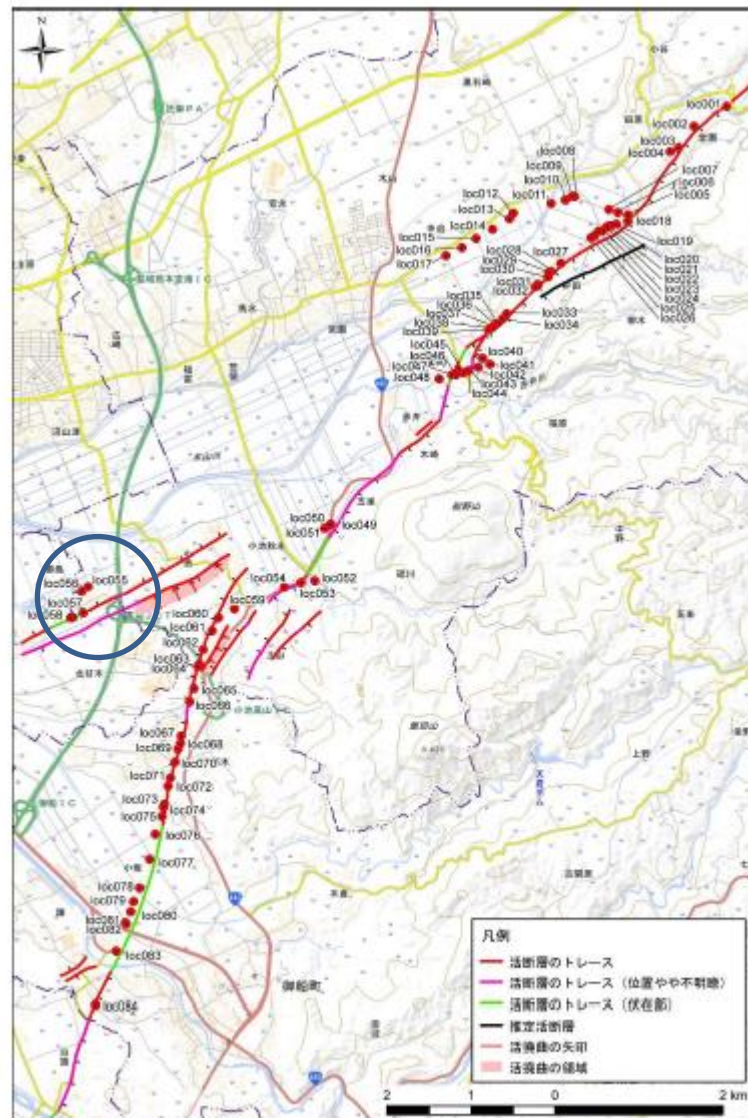
loc057



熊本県上益城郡
 嘉島町井寺(嘉島 JCT 西)

水田に現れたクラック
 高度差はほとんどない

写真は 16 日未明の地震前である 15 日に撮影



・背景図は国土院の電子国土を使用
 ・本図には、中田 高・今泉俊文編、2002、「活断層詳細デジタルマップ」、東京大学出版会の「活断層シェープファイル」を使用した(製品シリアル番号:DAFM2041)

活断層分布図

loc058



熊本県上益城郡
 嘉島町井寺(嘉島JCT西)

アスファルト舗装、水田に現れたクラック
 右横ずれを示す

写真は 16 日未明の地震前
 である 15 日に撮影

loc058



熊本県上益城郡
 嘉島町井寺(嘉島JCT西)

写真は 16 日未明の地震後
 である 16 日撮影

クラックやずれが拡大してい
 る

loc058



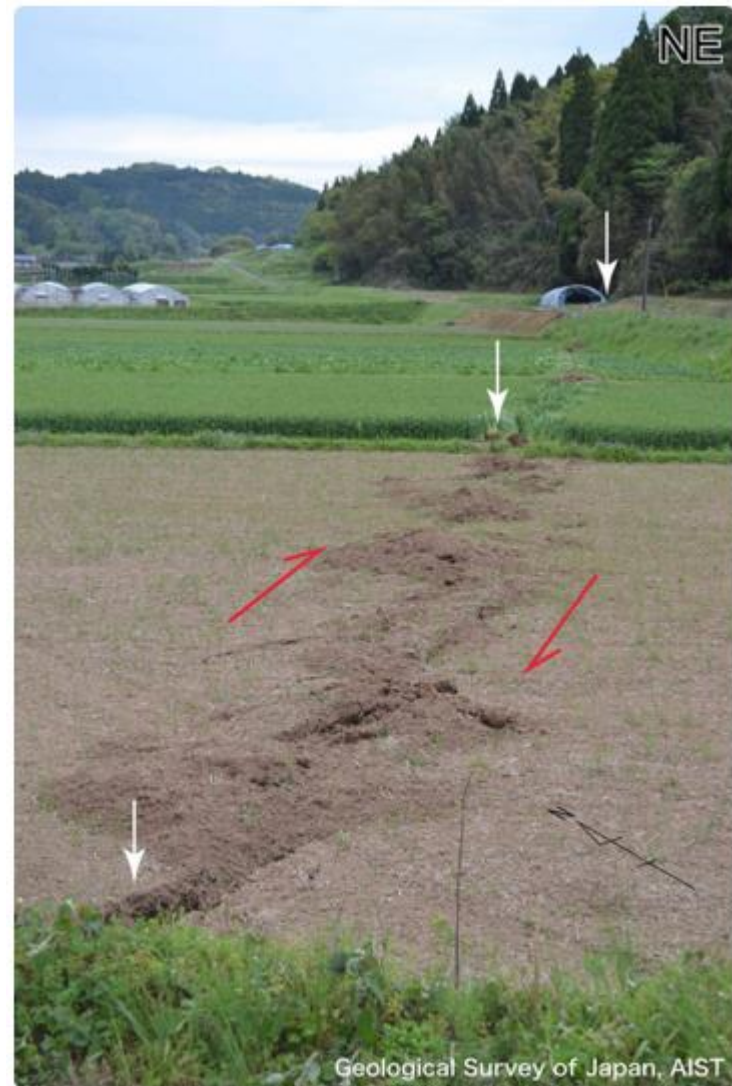
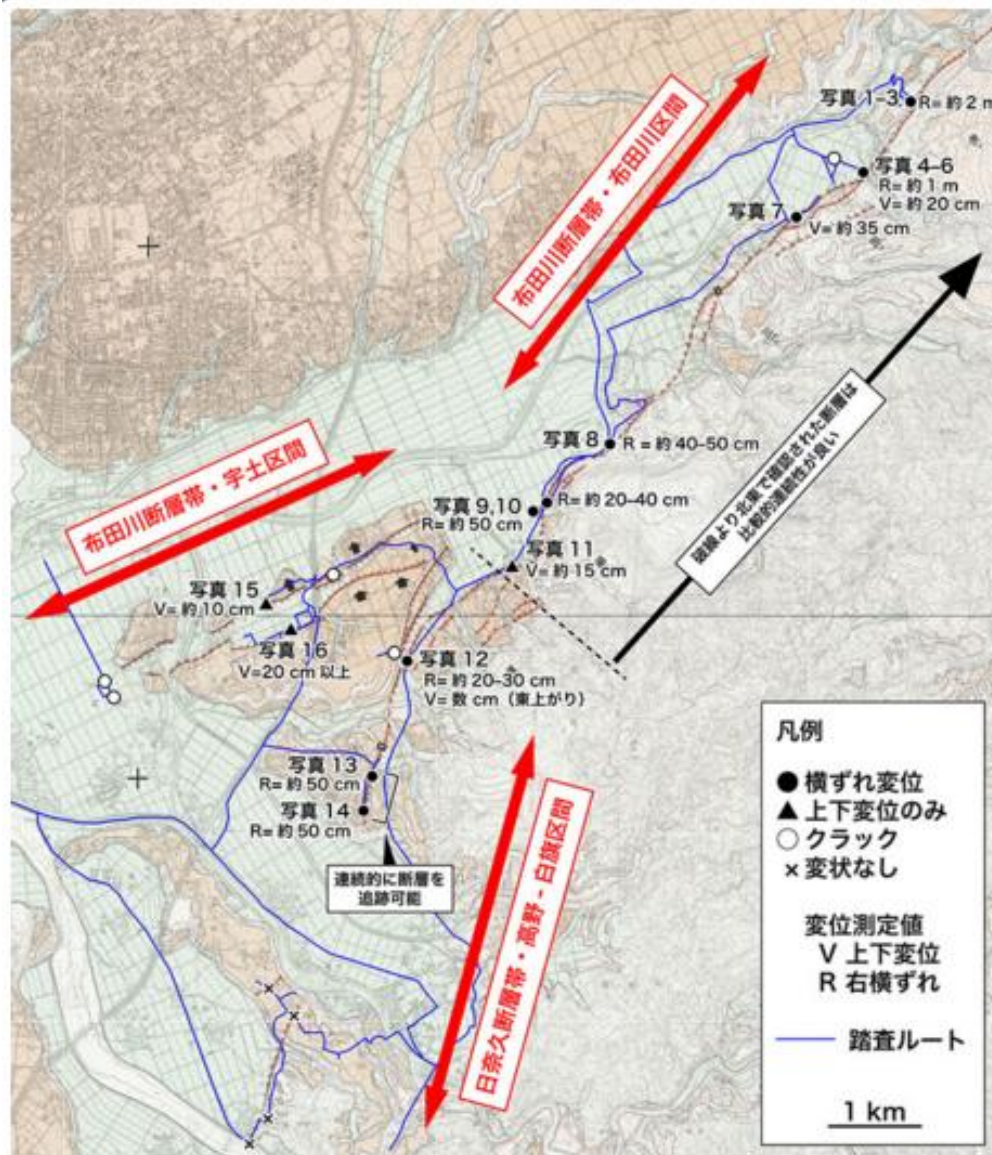
熊本県上益城郡
 嘉島町井寺(嘉島JCT西)

写真は 16 日未明の地震後
 である 16 日撮影
 電柱が上写真位置
 クラックやずれが拡大してい
 る

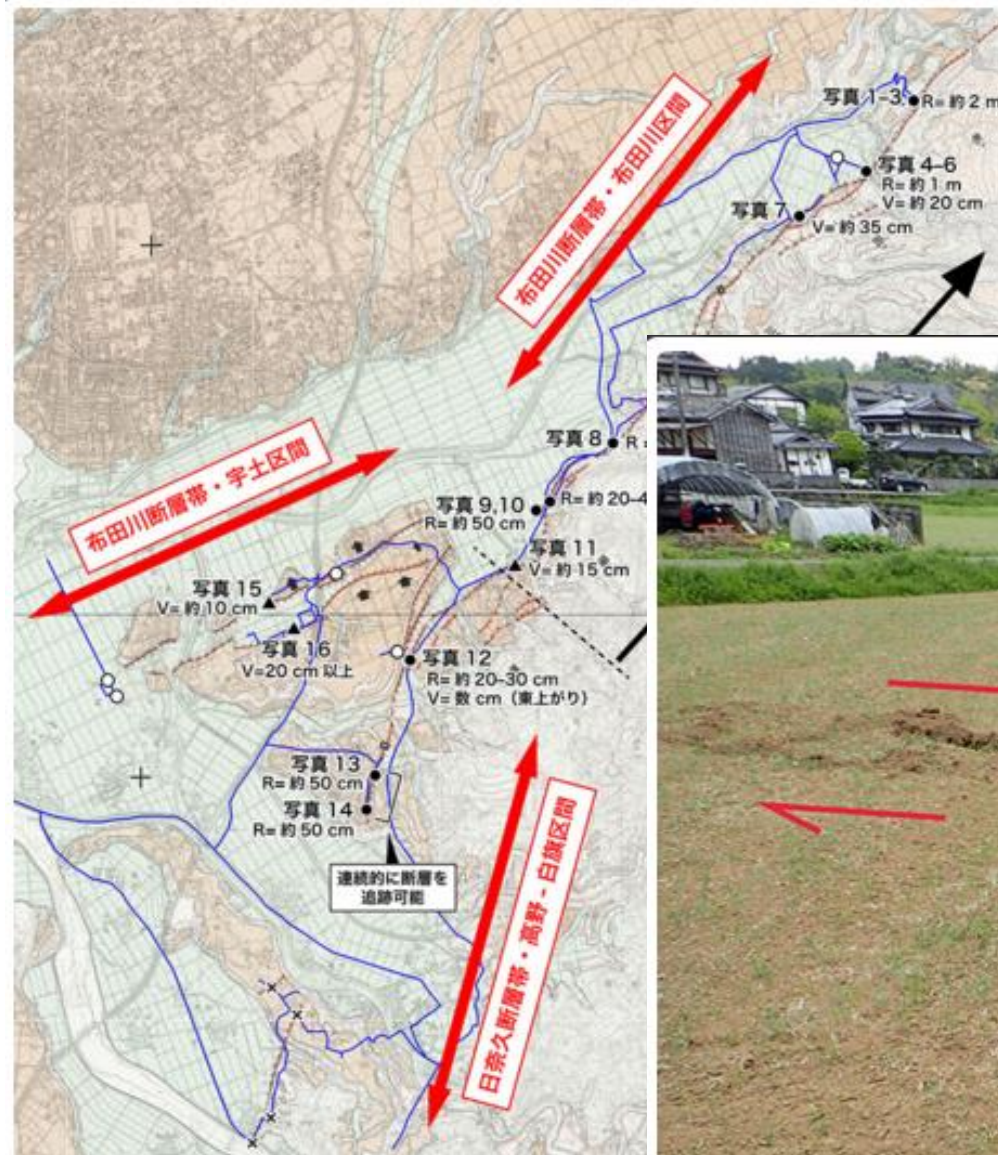


“Right lateral dislocations cross the road way. The gap was approximately 30cm. The dislocation may be a part of surface faulting. This is because no landslides are expected in the area, the crack azimuth agrees with the fault strike, and its location is almost on the fault surface. **According to the neighbor, the dislocation slightly appeared after the 1st event, and it grows to the current size after the 2nd event.**”

Rupture during mainshock

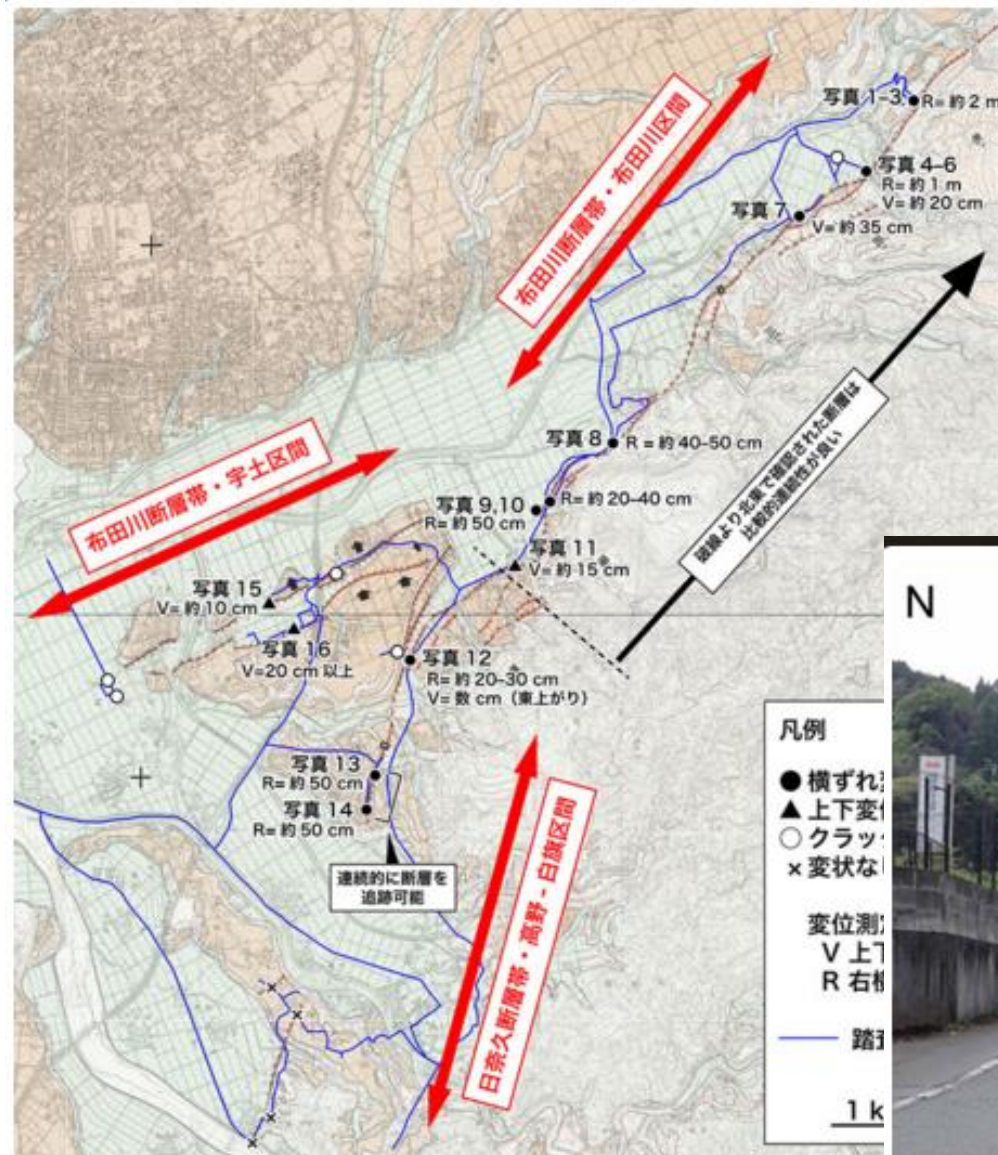


Mall track caused by the right-lateral displacement and displacement seen in the fields of Birds Nest village. Picture taken toward the northeast direction. Fault passes through the right of the blue vinyl house, leading to the mountains. White arrows fault position, the red arrows indicate the displacement sense. (2016 April 16 shooting)



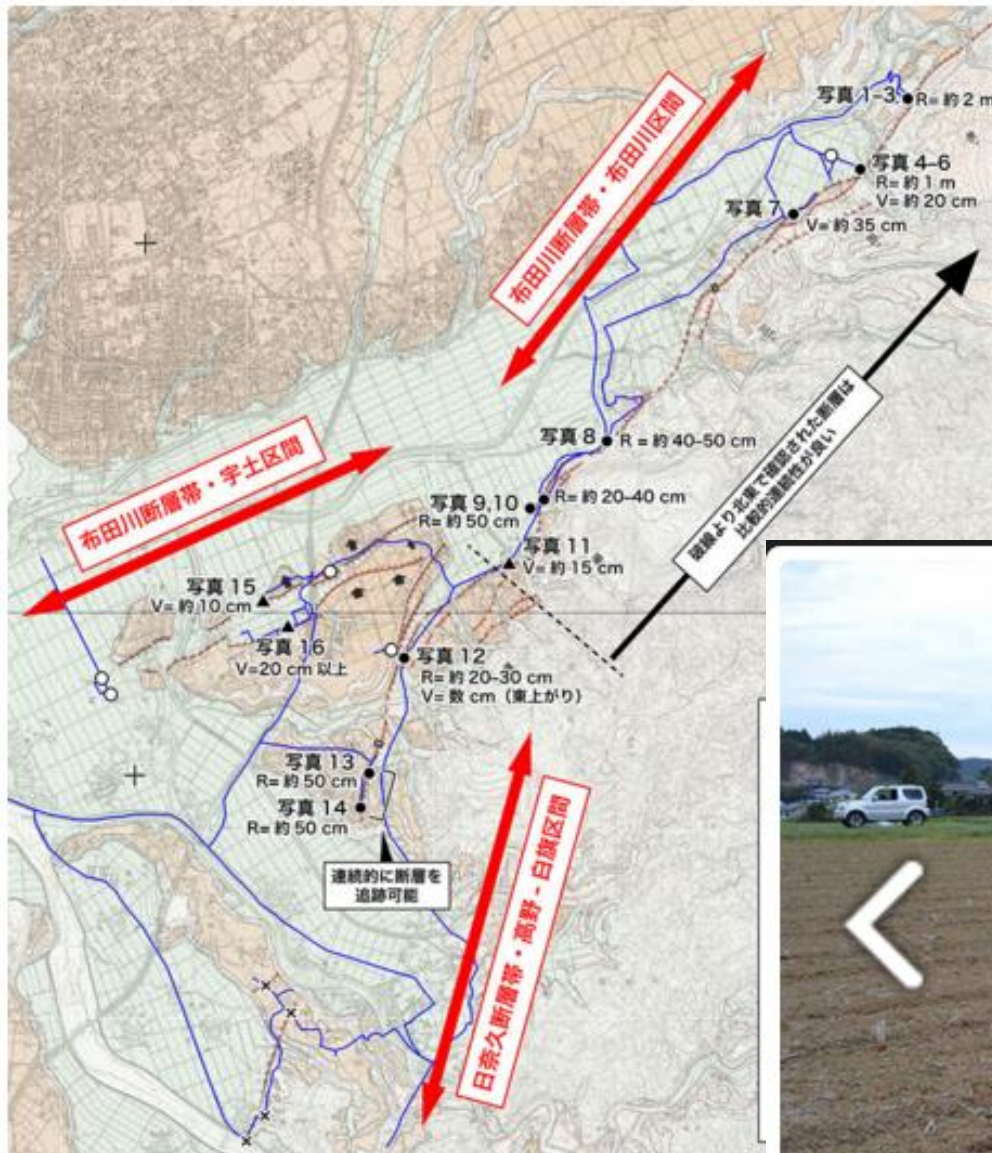
Right-lateral displacement seen in the fields of Birds Nest village. Picture taken toward the northwest direction. Right-lateral displacement amount of time relative to the footpath is about 200 cm. (2016 April 16 shooting)





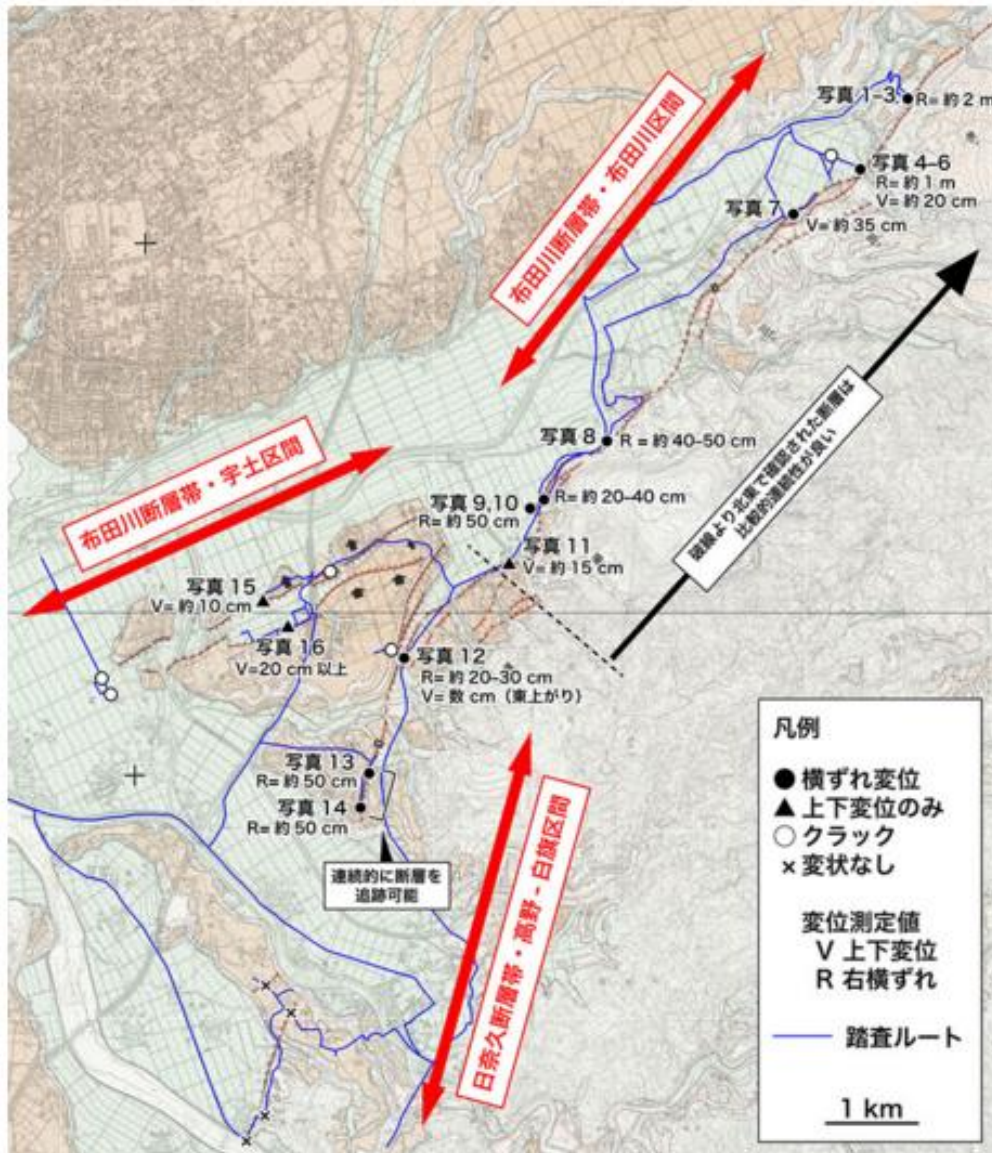
Shortening deformation seen in the pavement of the photo 3 Kamijin settlements. Picture taken toward the southeast direction. Vertical displacement weight of about 40 cm. Fault continues to N70E direction. (2016 April 16 shooting)



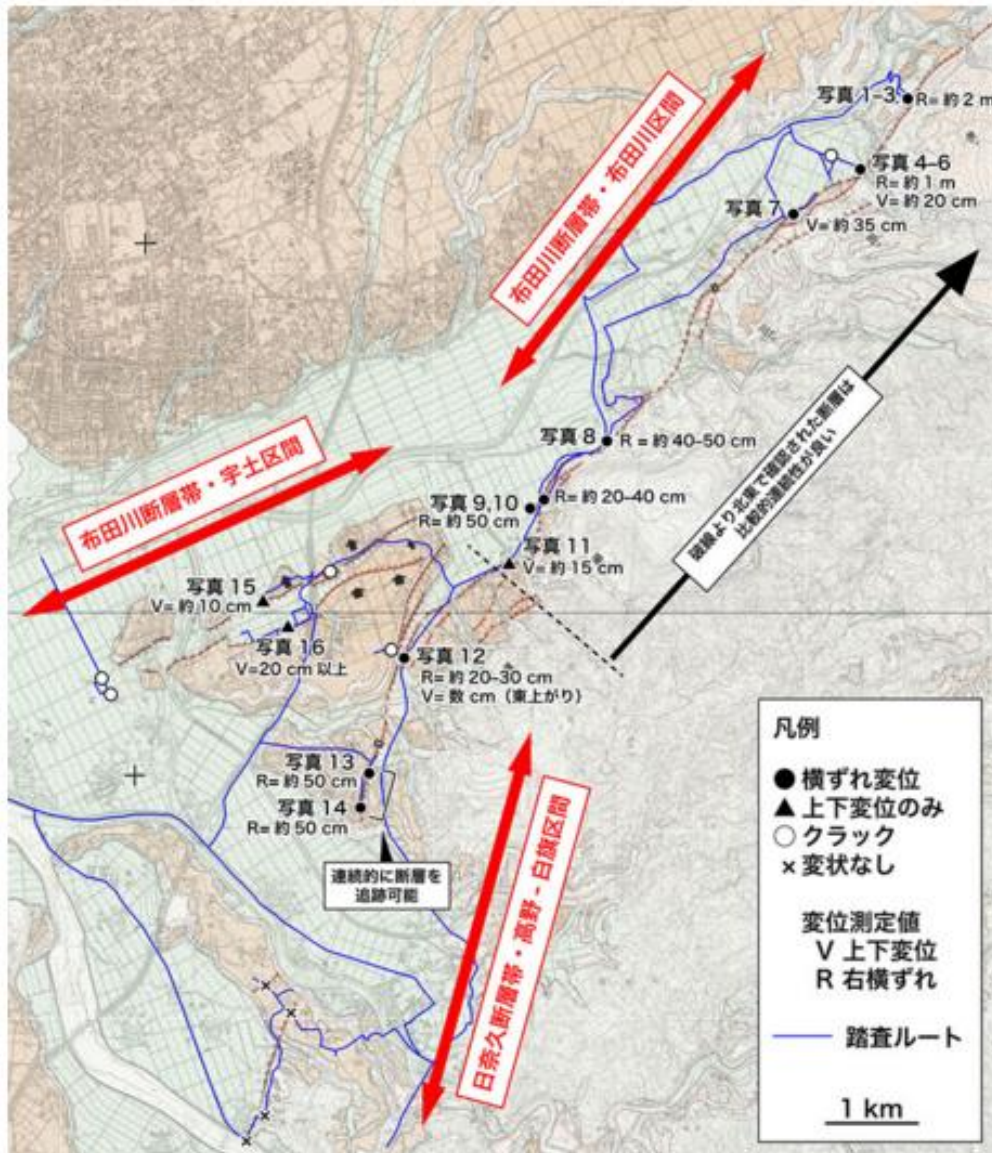


Right-lateral displacement and mall track seen in photo 4 Shimojin village west. Picture taken toward the northeast direction. Right-lateral displacement weight of about 100 cm, vertical displacement weight of about 20 cm. (2016 April 16 shooting)

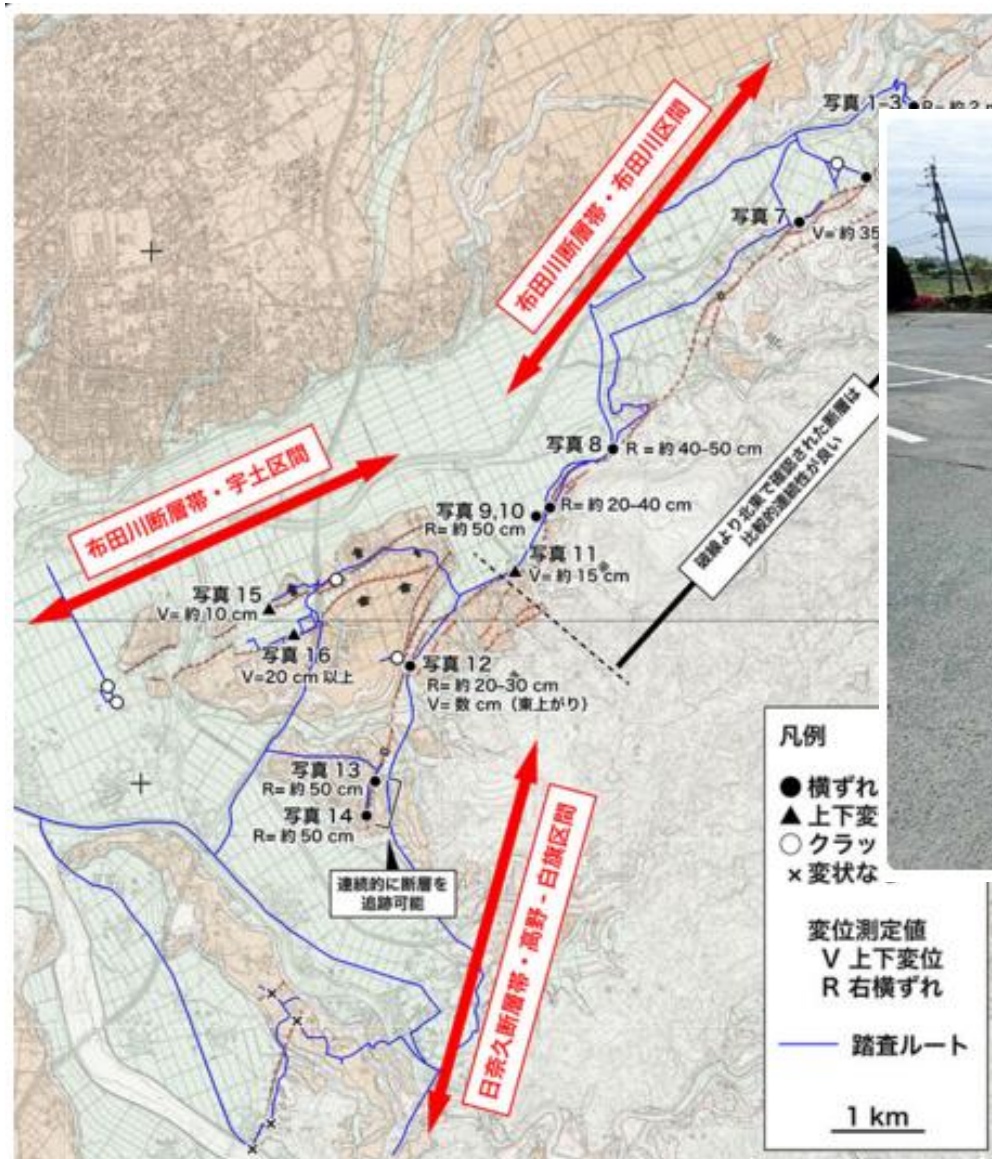




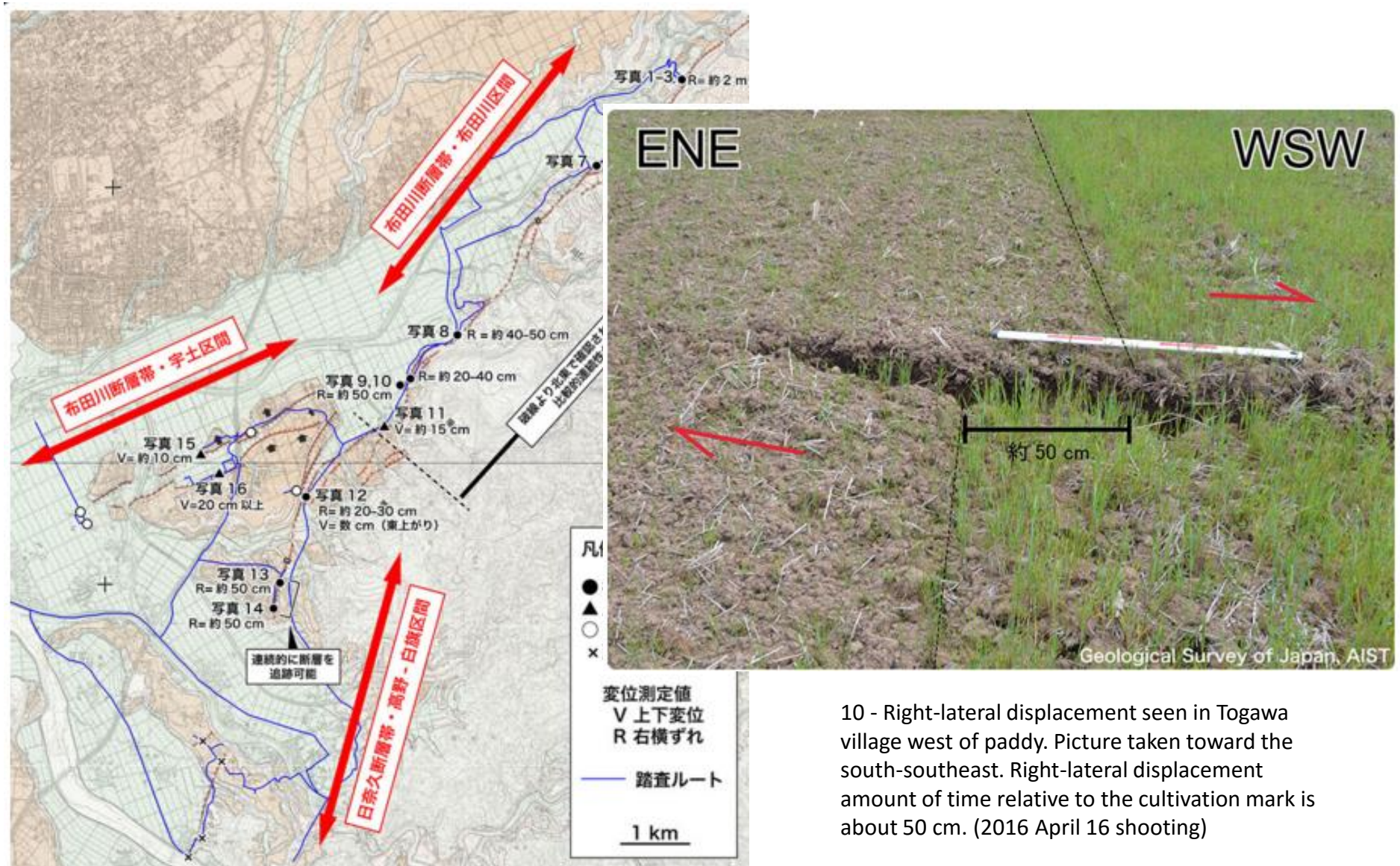
6- Flexure deformation of the paddy field with a left-lateral strike-slip component of N70W strike seen in Shimojin village west. Picture taken toward the west-northwest direction. Vertical displacement weight of about 15 ~ 20 cm, left-lateral strike-slip displacement amount is about 20 cm. (2016 April 16 shooting)



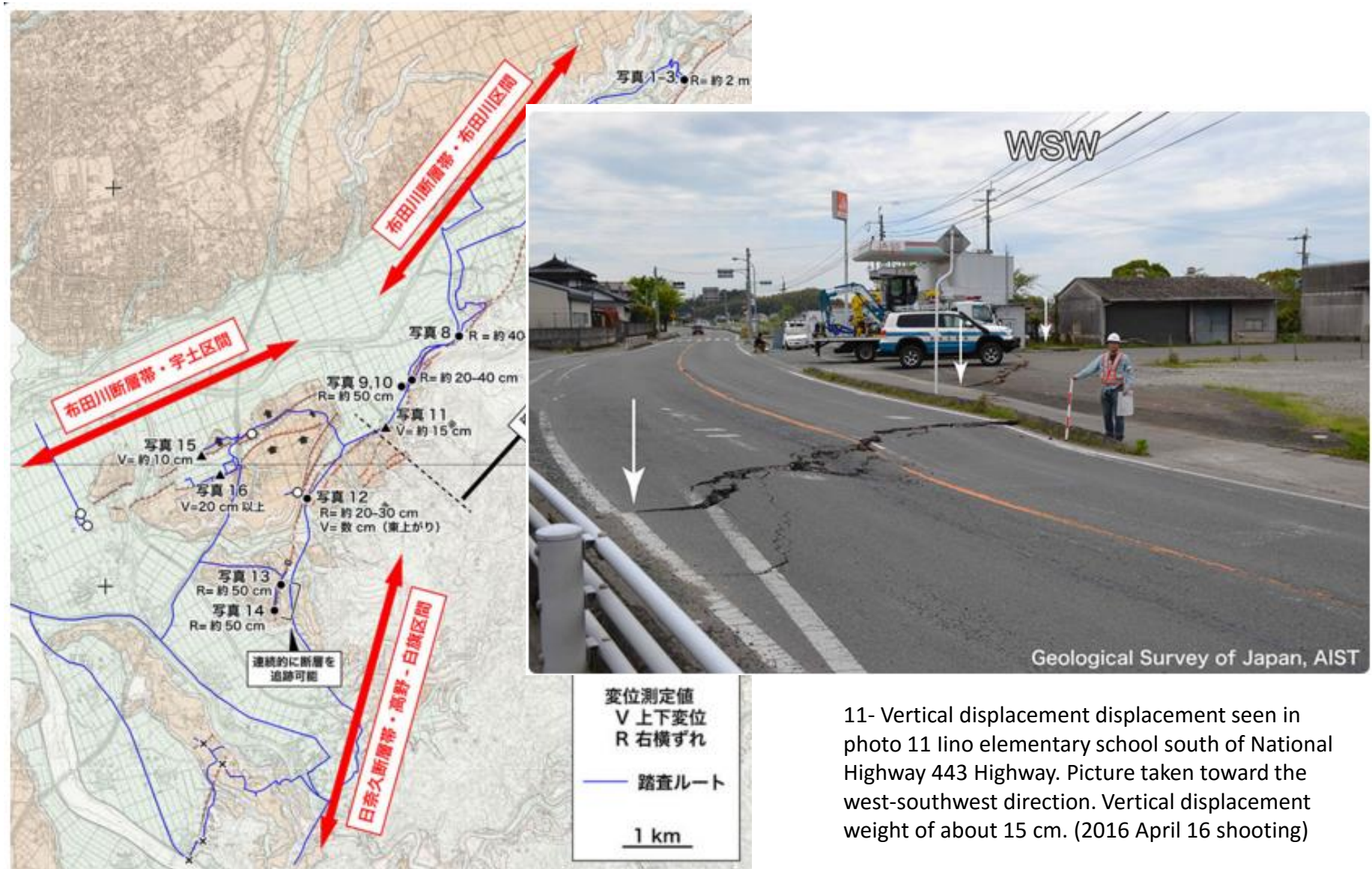
7- Right-lateral displacement seen in photo 7 Mitake village southwest of paddy. Picture taken toward the northeast direction. Fault passes through the road from the distortion part of the guardrail, through the right of the back of the house, continuing to photograph 5. (2016 April 16 shooting)



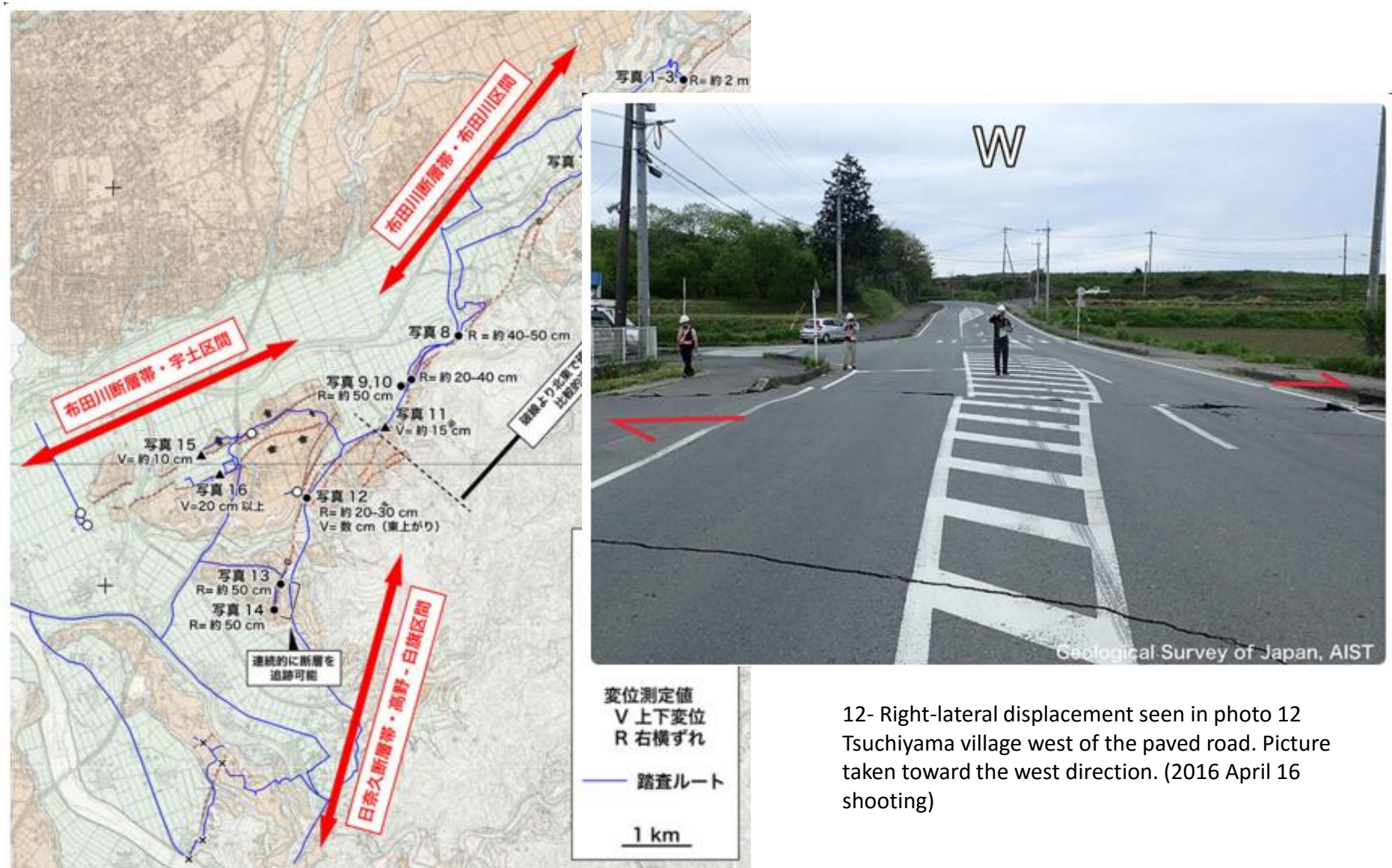
8-Akai village "mashiki townspeople rest of the house," parking lot to see is right-lateral displacement. Picture taken toward the northwest direction. Right-lateral displacement amount is about 40 ~ 50 cm. (2016 April 16 shooting)



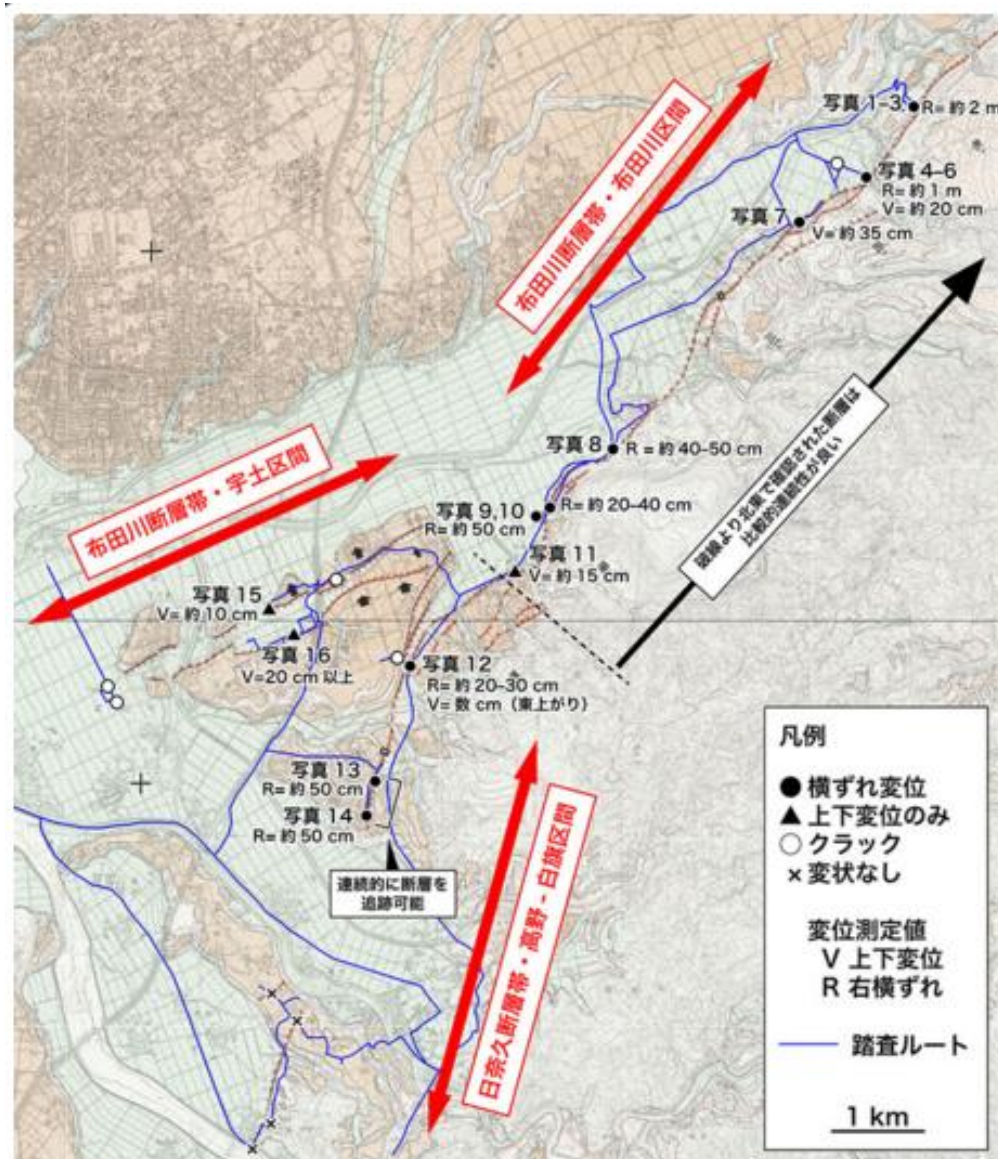
10 - Right-lateral displacement seen in Togawa village west of paddy. Picture taken toward the south-southeast. Right-lateral displacement amount of time relative to the cultivation mark is about 50 cm. (2016 April 16 shooting)



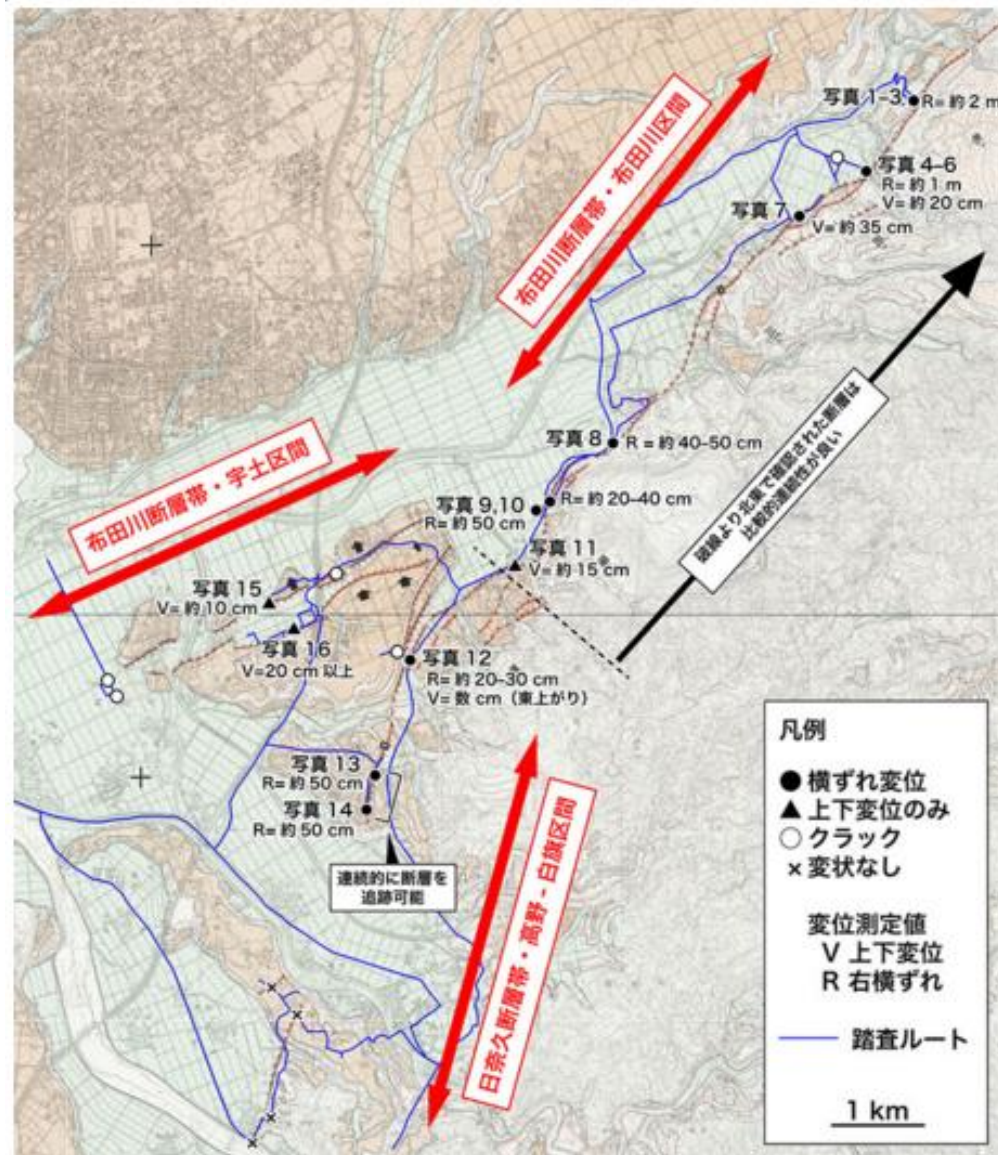
11- Vertical displacement displacement seen in photo 11 lino elementary school south of National Highway 443 Highway. Picture taken toward the west-southwest direction. Vertical displacement weight of about 15 cm. (2016 April 16 shooting)



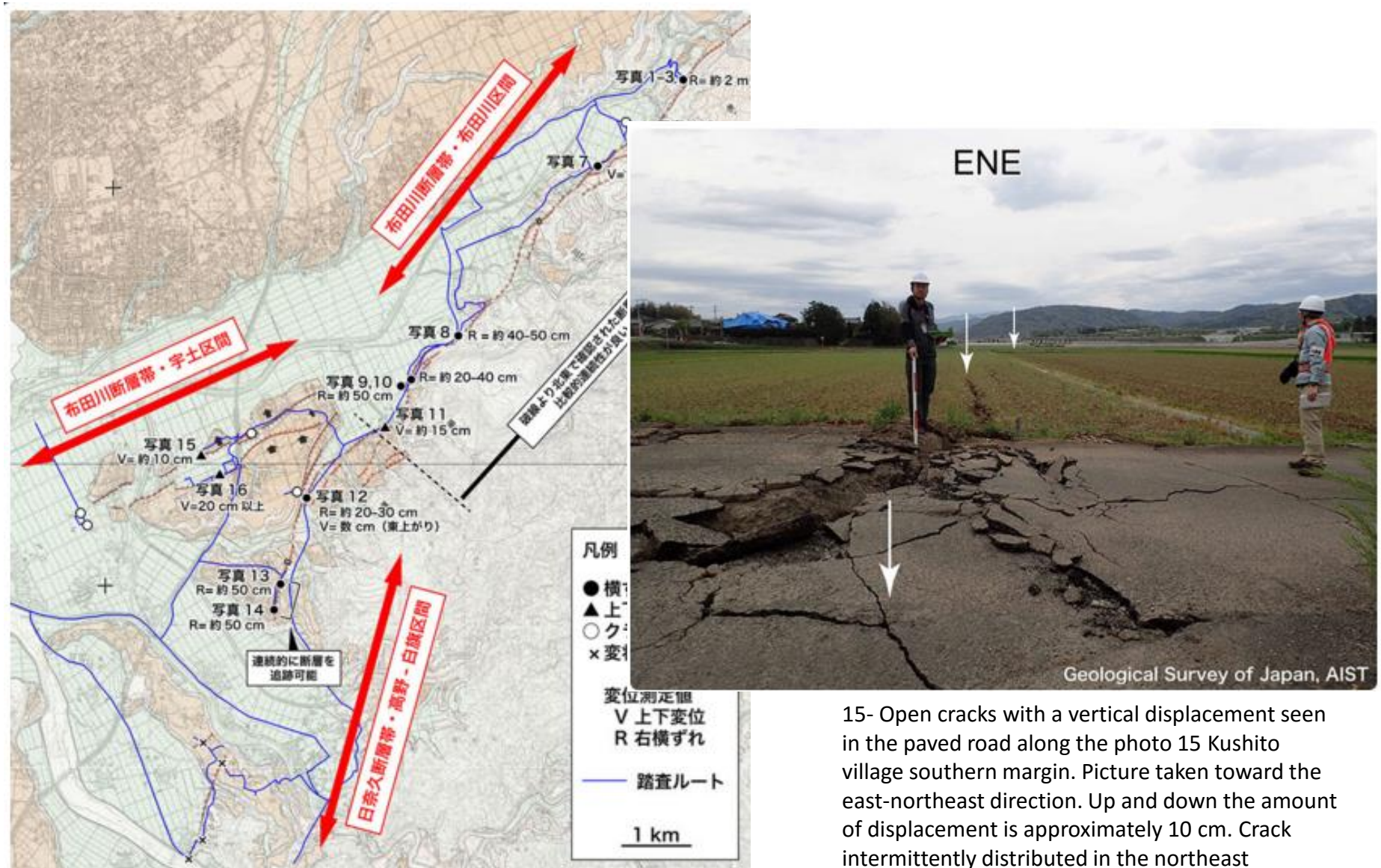
12- Right-lateral displacement seen in photo 12 Tsuchiyama village west of the paved road. Picture taken toward the west direction. (2016 April 16 shooting)



13-Right-lateral displacement seen in the rice paddies of the photo 13 Takagi village. Picture taken toward the south direction. Right-lateral displacement amount is about 50 cm. (2016 April 17 shooting)



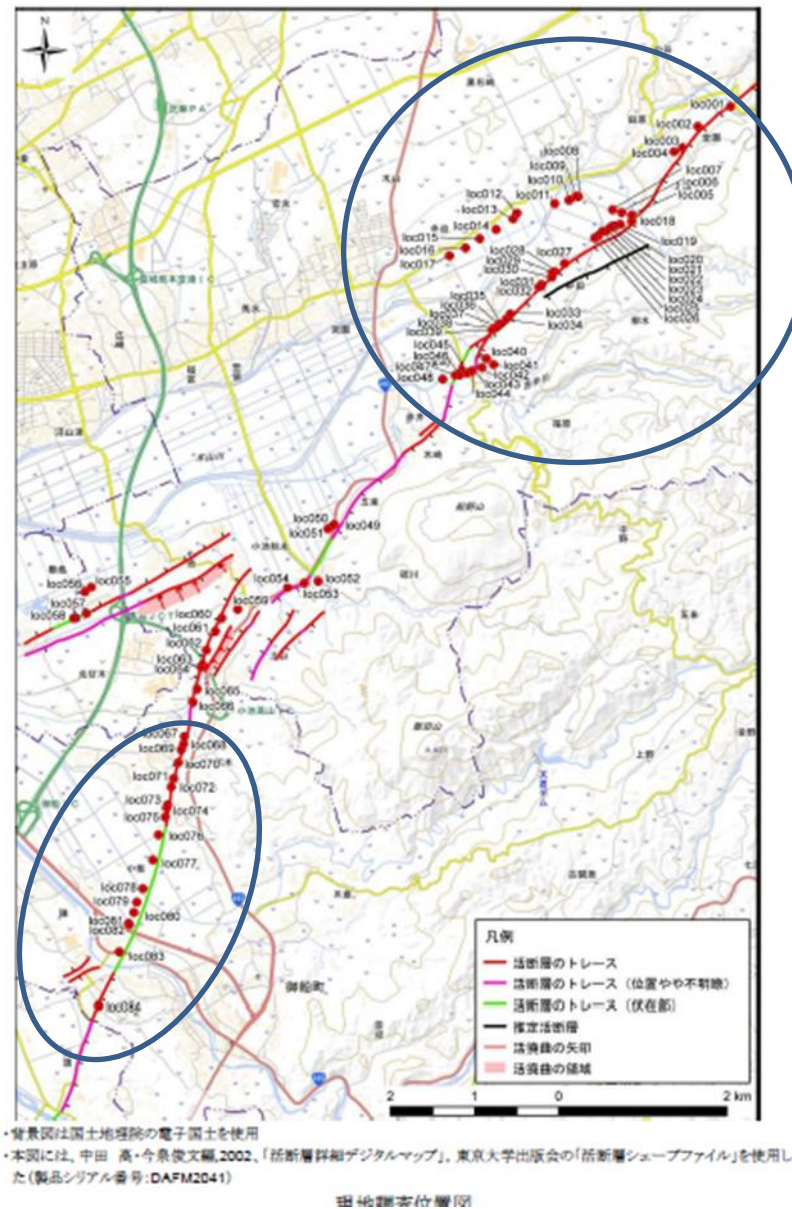
14- Right-lateral displacement seen in the pavement of Kamikoya village. Picture taken toward the east direction. Right-lateral displacement amount of time on the basis of the gutter is about 50 cm. (2016 April 17 shooting)



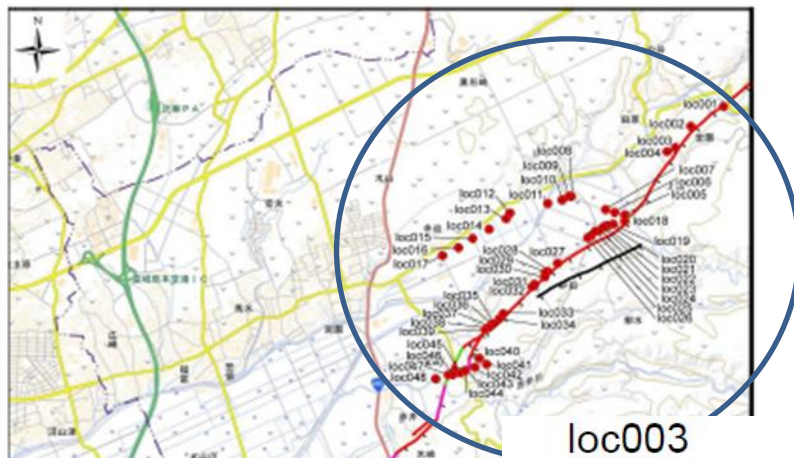
15- Open cracks with a vertical displacement seen in the paved road along the photo 15 Kushito village southern margin. Picture taken toward the east-northeast direction. Up and down the amount of displacement is approximately 10 cm. Crack intermittently distributed in the northeast southwest direction of the field. (2016 April 16 shooting)



16- Deformation of the fence caused by the south open cracks and the south side of the deflection-up of the rise that occurred at the boundary between the photo 16 Kushito village south of topographical growing and rice paddies. Picture taken toward the west-southwest direction. Up and down the amount of displacement is approximately 20 cm or more. Deflection and opening cracks in the south rise is seen continuously along the terrain boundary. White arrows represent the shape of the deflection. (2016 April 17 shooting)



Surface faulting during 2016 Kumamoto
 Earthquake - Compilation by S. Baize (IRSN)



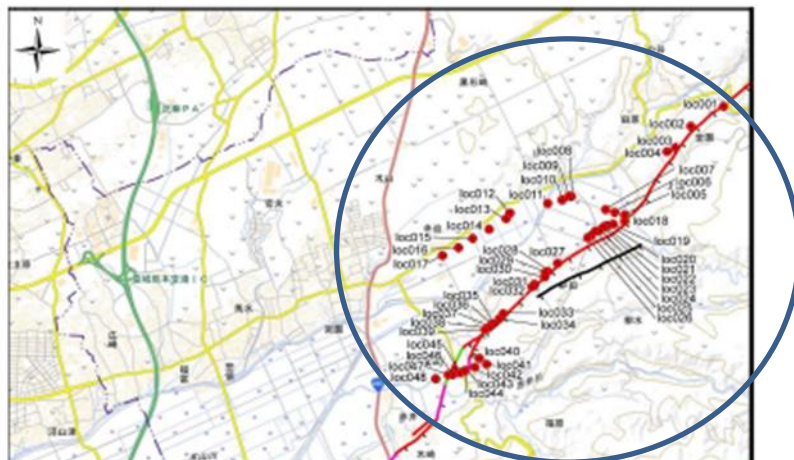
loc003



・背景図は国土院の電子国土地図を使用
・本図には、中田 高・今泉俊文編、2002、「断層詳細デジタルマップ」、東京大学
た(製品シリアル番号:DAFM2041)

国土地院提供

Surface faulting during 2016 Kumamoto Earthquake - Compilation by S. Baize (IRSN)



loc018

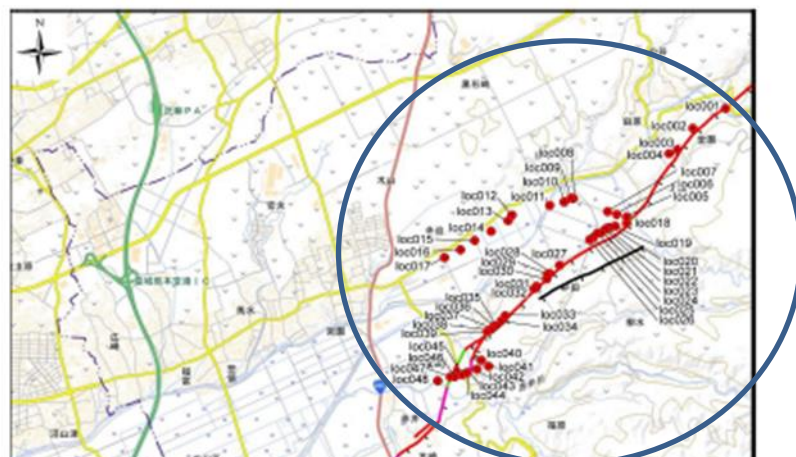


・背景図は国土院の電子国土を使用
・本図には、中田 高・今泉俊文編、2002、「断層詳細デジタルマップ」、東
た(製品シリアル番号:DAFM2041)

国土地理院

PASCO
World's Leading Geospatial Group

50
撮影：株式会社パスコ



loc026

Vertical 0.5m

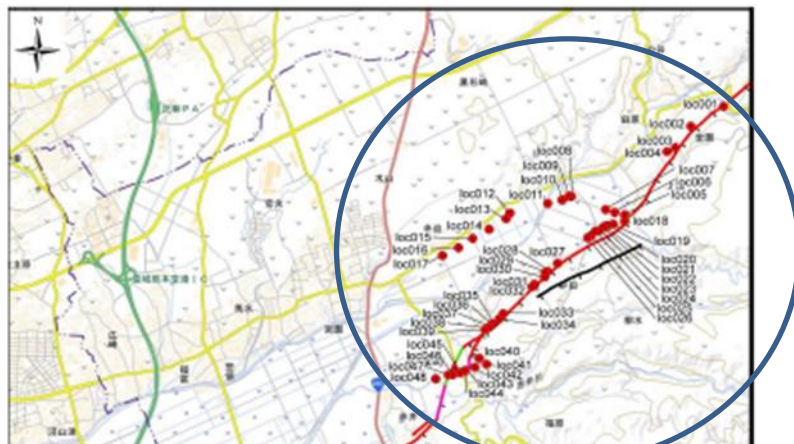


・背景図は国土地理院の電子国土を使用
・本図には、中田 高・今泉俊文編、2002、「新断面詳細デジタルマップ」、東京大学出版会
た(製品シリアル番号:DAFM2041)

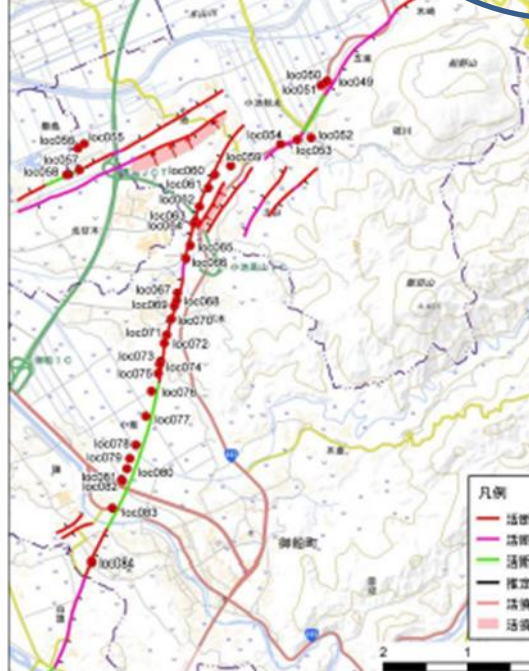
地形図著作権図

PASCO
World's Leading Geospatial Group

撮影：株式会社パスコ



loc031



・背景図は国土地理院の電子国土を使用
 ・本図には、中田 高・今泉俊文編、2002、「新断面詳細デジタルマップ」、東京大学出版
 社(製品シリアル番号:DAFM2041)

国土院提供



PASCO
 World's Leading Geospatial Group

撮影：株式会社パスコ



loc037

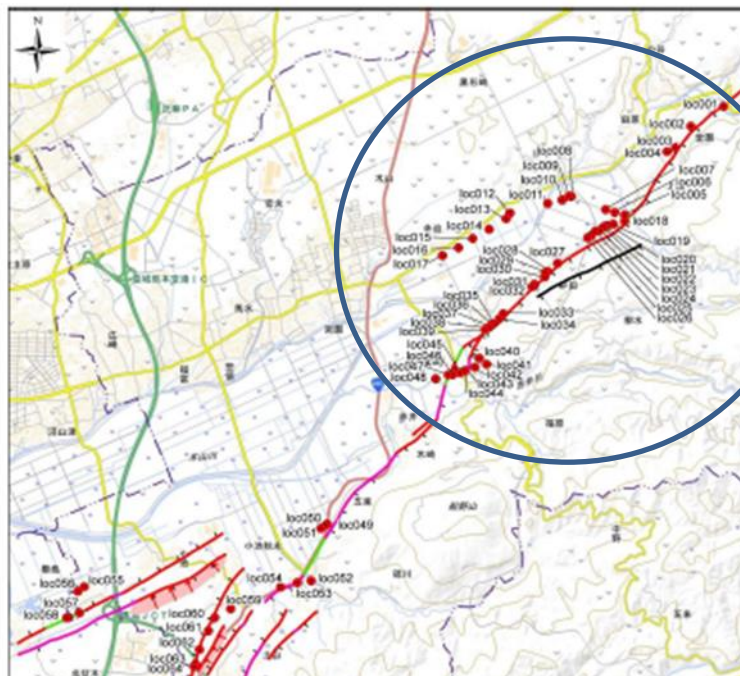


・背景図は国土地理院の電子国土を使用
 ・本図には、中田 高・今泉俊文編、2002、「新断面詳細デジタルマップ」、東京大学
 出版（製品シリアル番号:DAFM2D41）

国土院提供

PASCO
 World's Leading Occupational Group

撮影：株式会社バスコ



loc044

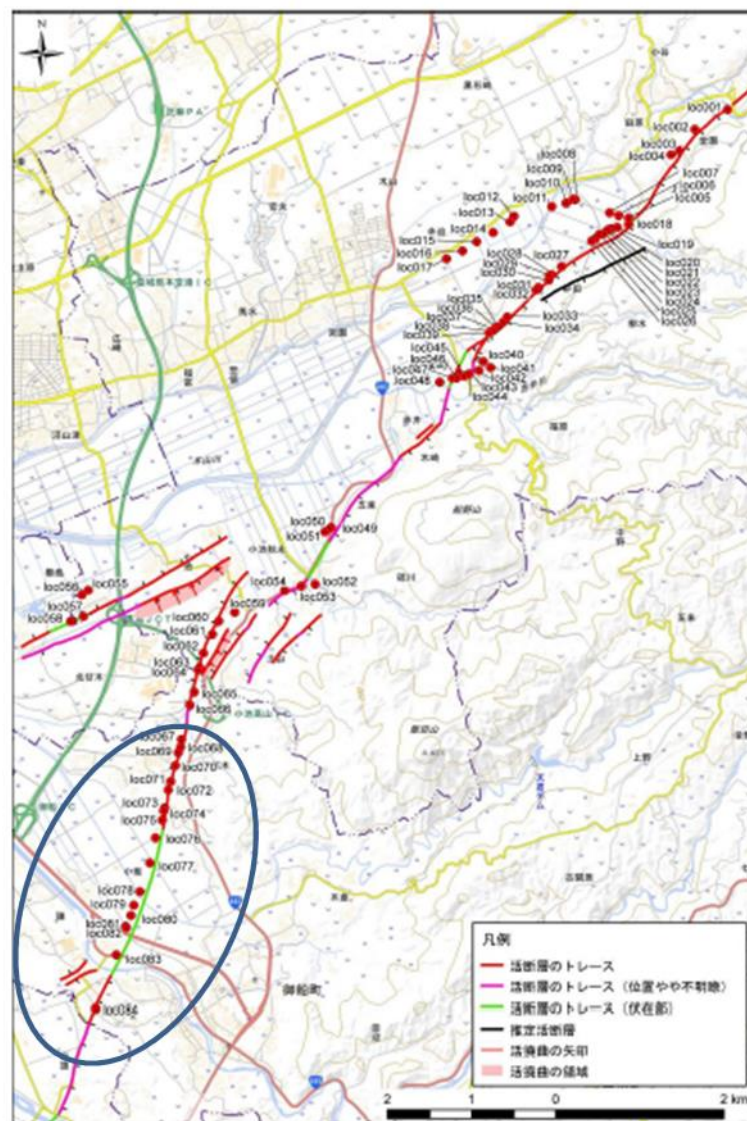


loc043



loc046





・背景図は国土院の電子国土を使用
 ・本図には、中田 高・今泉俊文編、2002、「活断層詳細デジタルマップ」、東京大学出版会の「活断層シェープファイル」を使用した(製品シリアル番号:DAFM2041)

国土地理院提供



loc067

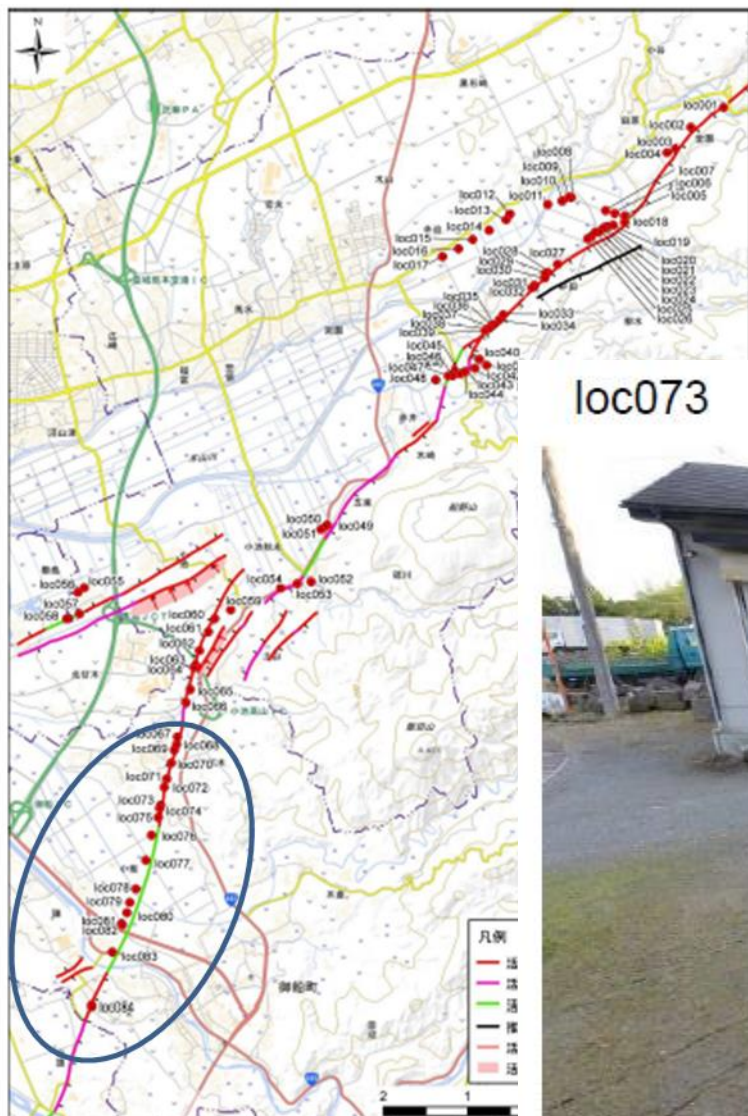


・背景図は国土地理院の電子国土を使用
 ・本図には、中田 高・今泉俊文編、2002、「所断層詳細デジタルマップ」、
 た(製品シリアル番号:DAFM2041)

地形図を背景図

PASCO
 World's Leading Geospatial Group

撮影：株式会社バスコ



・背景図は国土地理院の電子国土を使用
 ・本図には、中田 高・今泉俊文編、2002、「断層詳細デジタルマップ」、東京大学出
 した(製品シリアル番号:DAFM2041)

国土地理院





・背景図は国土地理院の電子国土を使用
 ・本図には、中田 高・今泉俊文編、2002、「折断面詳細デジタルマップ」、東京大学
 出版（製品シリアル番号：DAFM2041）

地形図資料館



PASCO
 World's Leading Geospatial Group

撮影：株式会社パスコ



・背景図は国土地理院の電子国土を使用
 ・本図には、中田 高・今泉俊文編、2002、「所断層詳細デジタルマップ」、東京大学出
 した(製品シリアル番号:DAFM2041)

国土地理院



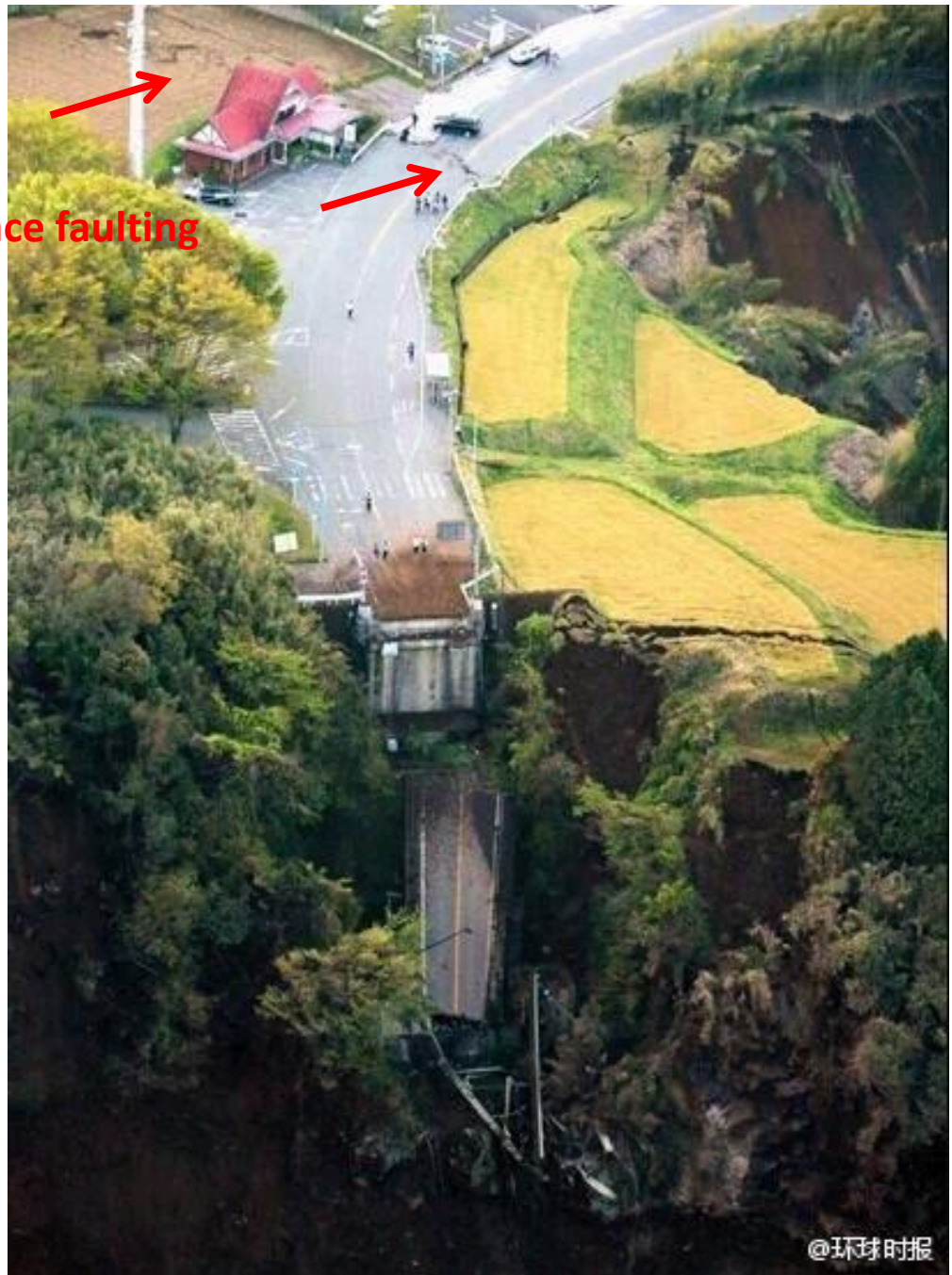
PASCO
 World's Leading Geospatial Group

撮影：株式会社バスコ

In front of the Mimami-Aso landslide (see further)

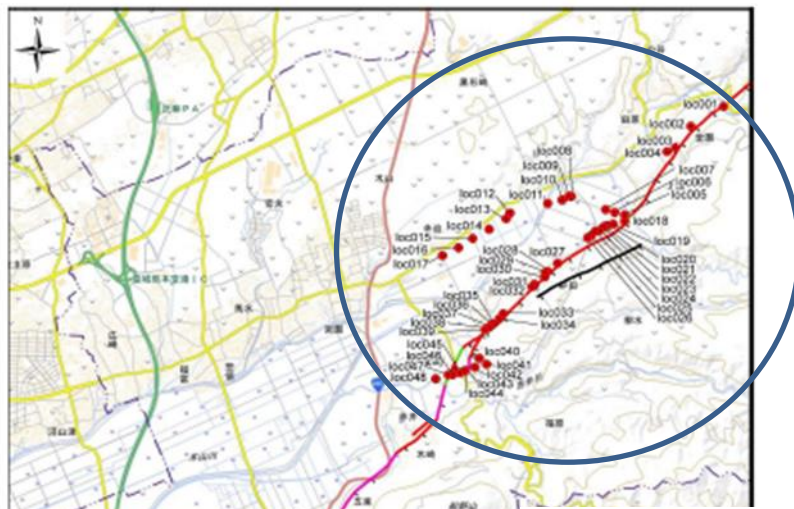


Surface faulting



Another perspective of the same area

Conjugate rupture



loc007

Left Lateral on WNW-ESE



・背景図は国土地理院の電子国土を使用
・本図には、中田 高・今泉俊文編、2002、「新断面詳細デジタルマップ」、東京大学出
た(製品シリアル番号:DAFM2041)

地形図著作権同

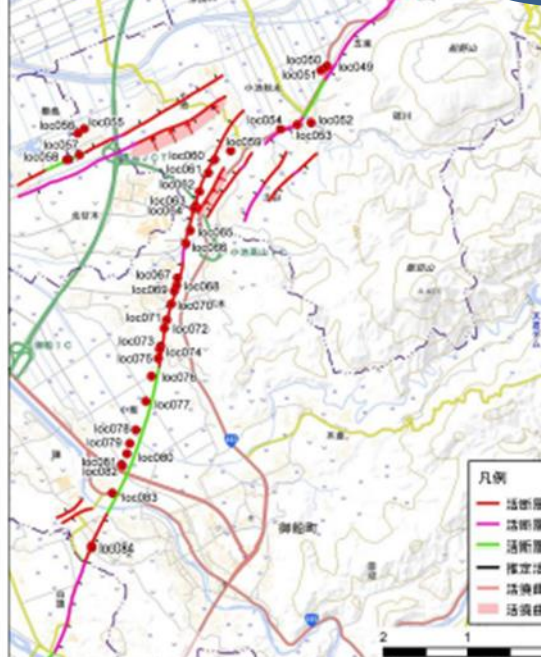
PASCO
World's Leading Geospatial Group

撮影：株式会社パスコ



loc040

Left Lateral + Vertical on WNW-ESE



・背景図は国土地理院の電子国土を使用
・本図には、中田 高・今泉俊文編、2002、「活断層詳細デジタルマップ」、東京大学出版
社(製品シリアル番号:DAFM2041)

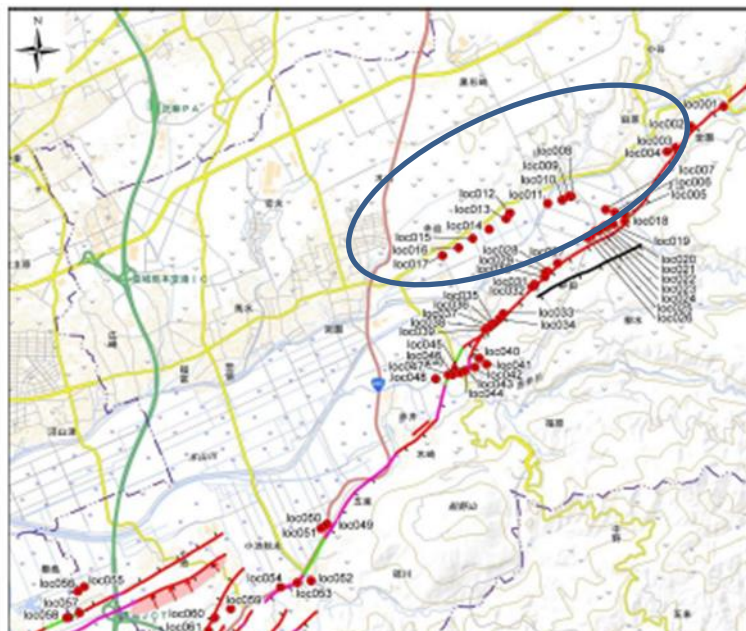
地学調査隊



PASCO
World's Leading Geospatial Group

撮影：株式会社パスコ

Secondary Faulting



loc016



Right Lateral Faulting on secondary rupture

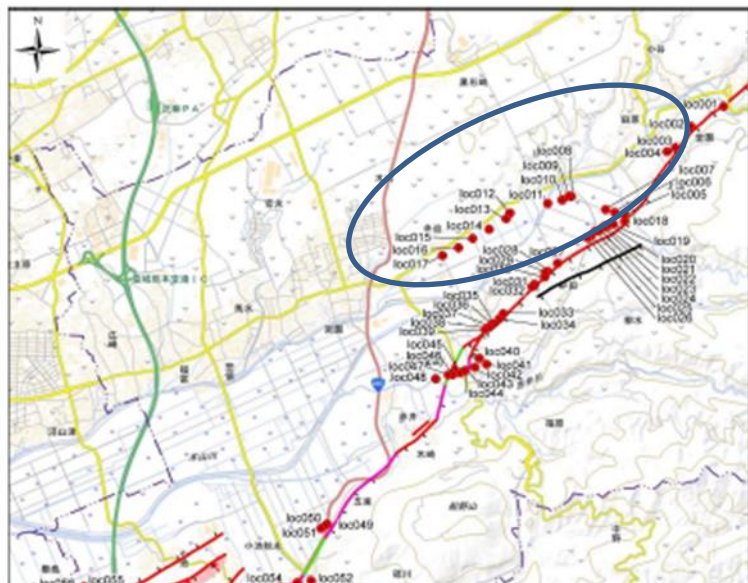
loc008



熊本県上益城郡
益城町下寺中灰塚(木山川
右岸)

農道が右横ずれ 0.5~1m
程度認められる
写真左右の水田に地表地
震断層が連続する

・背景図は国土地理院の電子国土を使用
・本図には、中田 高・今泉俊文編、2002、「新断層計
た(製品シリアル番号:DAFM2041)



Mole track with vertical offset?

loc012



・背景図は国土地理院の電子国土を使用
・本図には、中田 高・今泉俊文編、2002、「活断層詳細デジタルマップ」、東京大学出版会の「活断層シェーブ」
た(製品シリアル番号:DAFM2041)

国土地理院提供

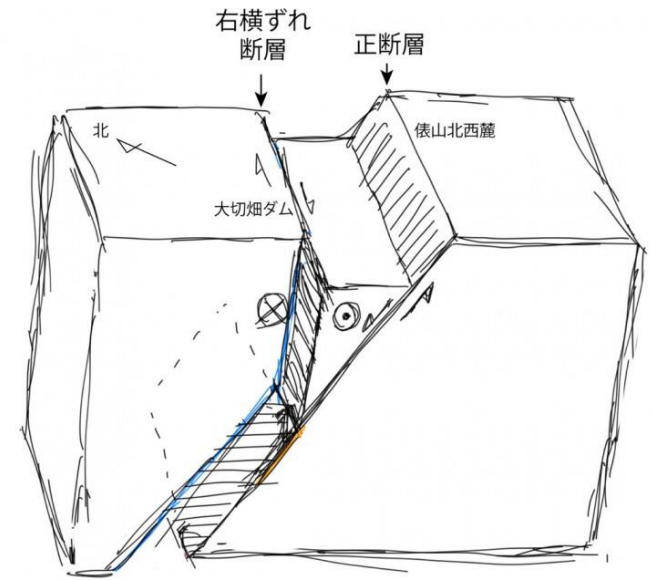


地震調査研究推進本部(2012)の断層分布図を使用



<http://irides.tohoku.ac.jp/irides-news/20160425/426>

Main fault (strike-slip)



Secondary fault (normal)



Other pictures of Surface Ruptures

南へ広がる地震活動 (4月14日午後9時～)

気象庁の資料をもとに作製。地形の画像は
国土地理院ウェブサイトから

主な活断層 — 震源 ●



<http://www.asahi.com/>



Surface faulting during 2016 Kumamoto
Earthquake - Compilation by S. Baize (IRSN)



Surface faulting during 2016 Kumamoto Earthquake - Compilation by S. Baize (IRSN)

Synthesis

- Surface rupture length
 - 26 km
- Maximum Displacement
 - 2 meters



第1図 熊本地震に伴う地表地震断層の確認地点

地震断層の確認地点

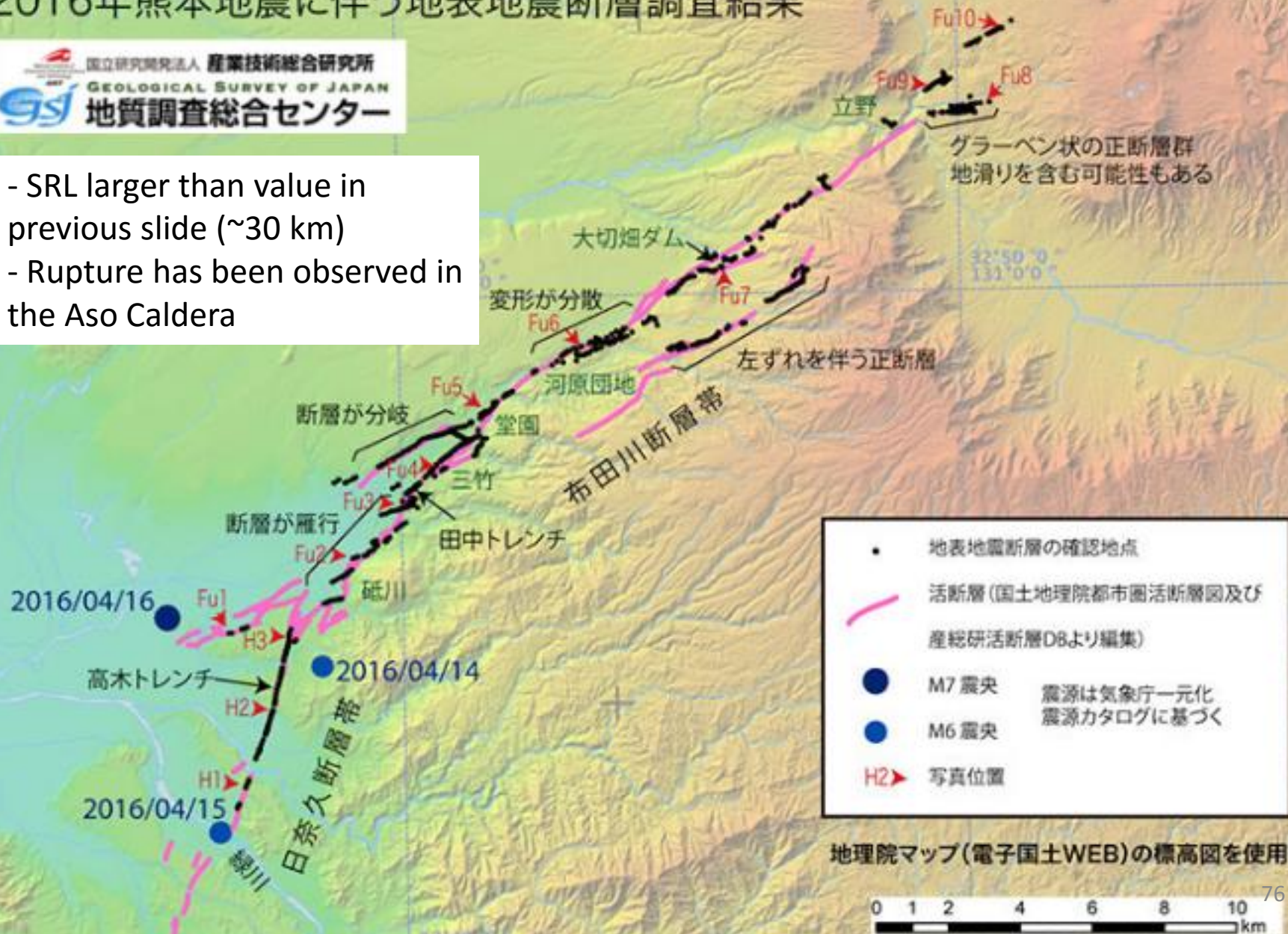
<http://jsaf.info/jishin/items/docs/20160420164714.pdf>

Surface Fault Map according to the GSJ

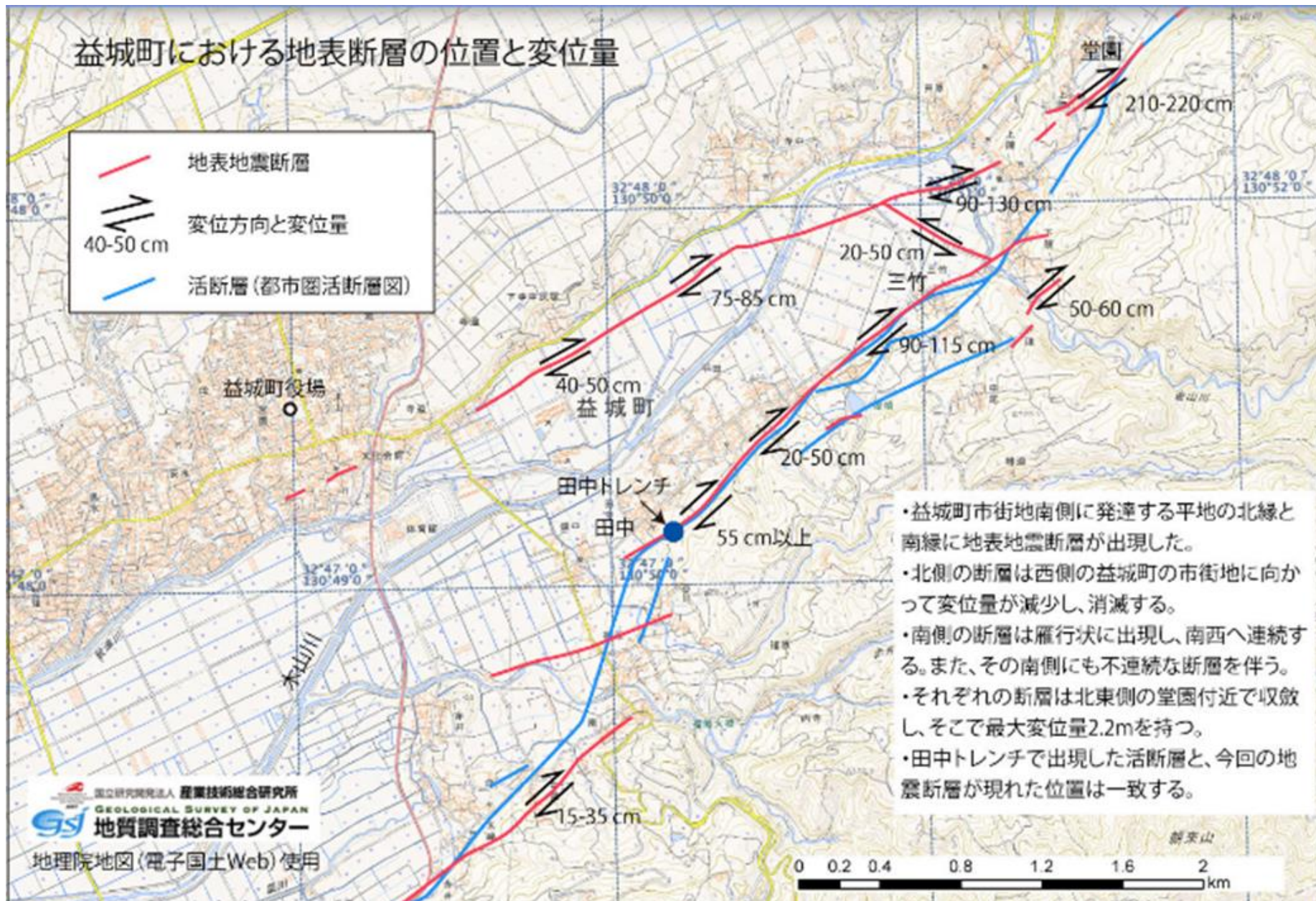
2016年熊本地震に伴う地表地震断層調査結果



- SRL larger than value in previous slide (~30 km)
- Rupture has been observed in the Aso Caldera

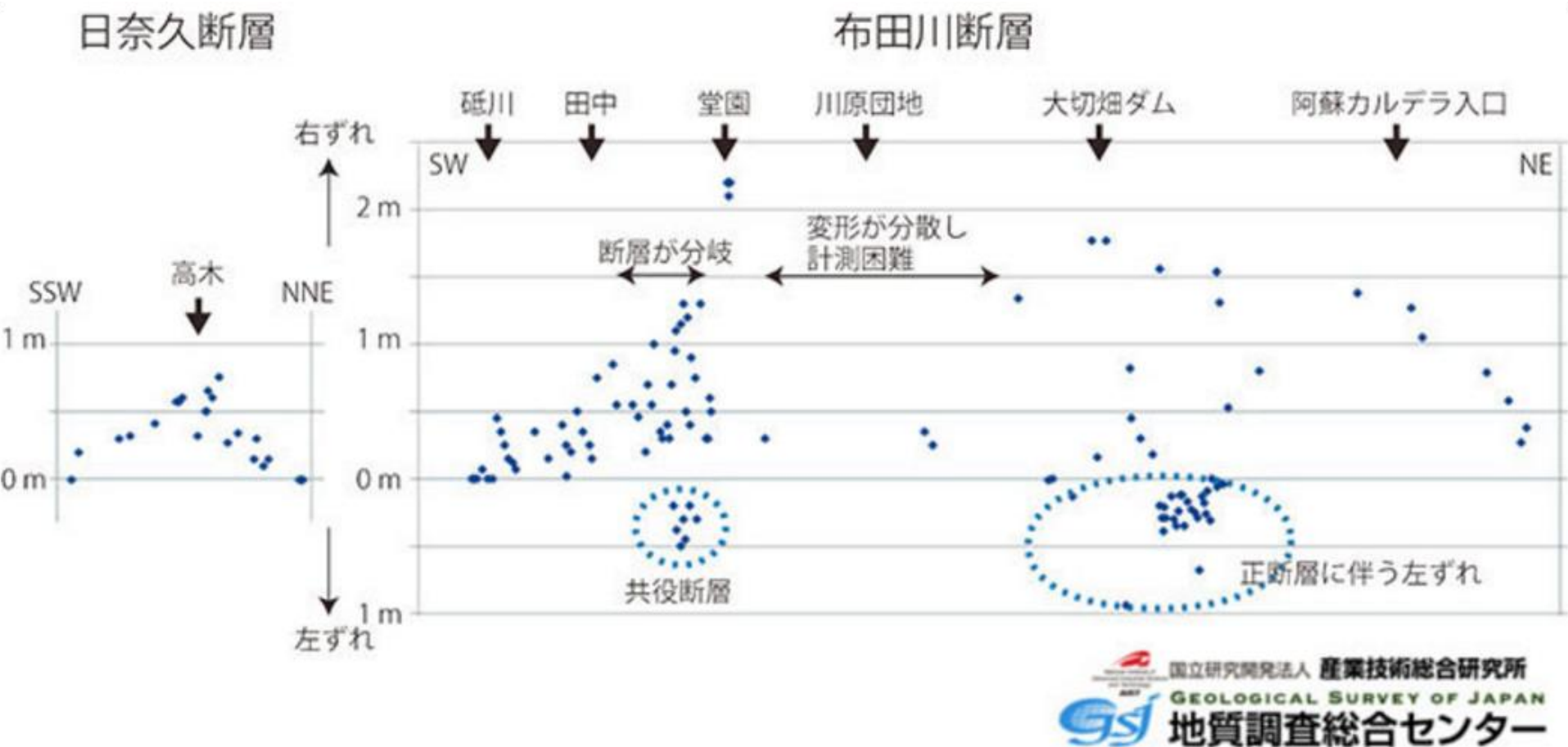


益城町における地表断層の位置と変位量

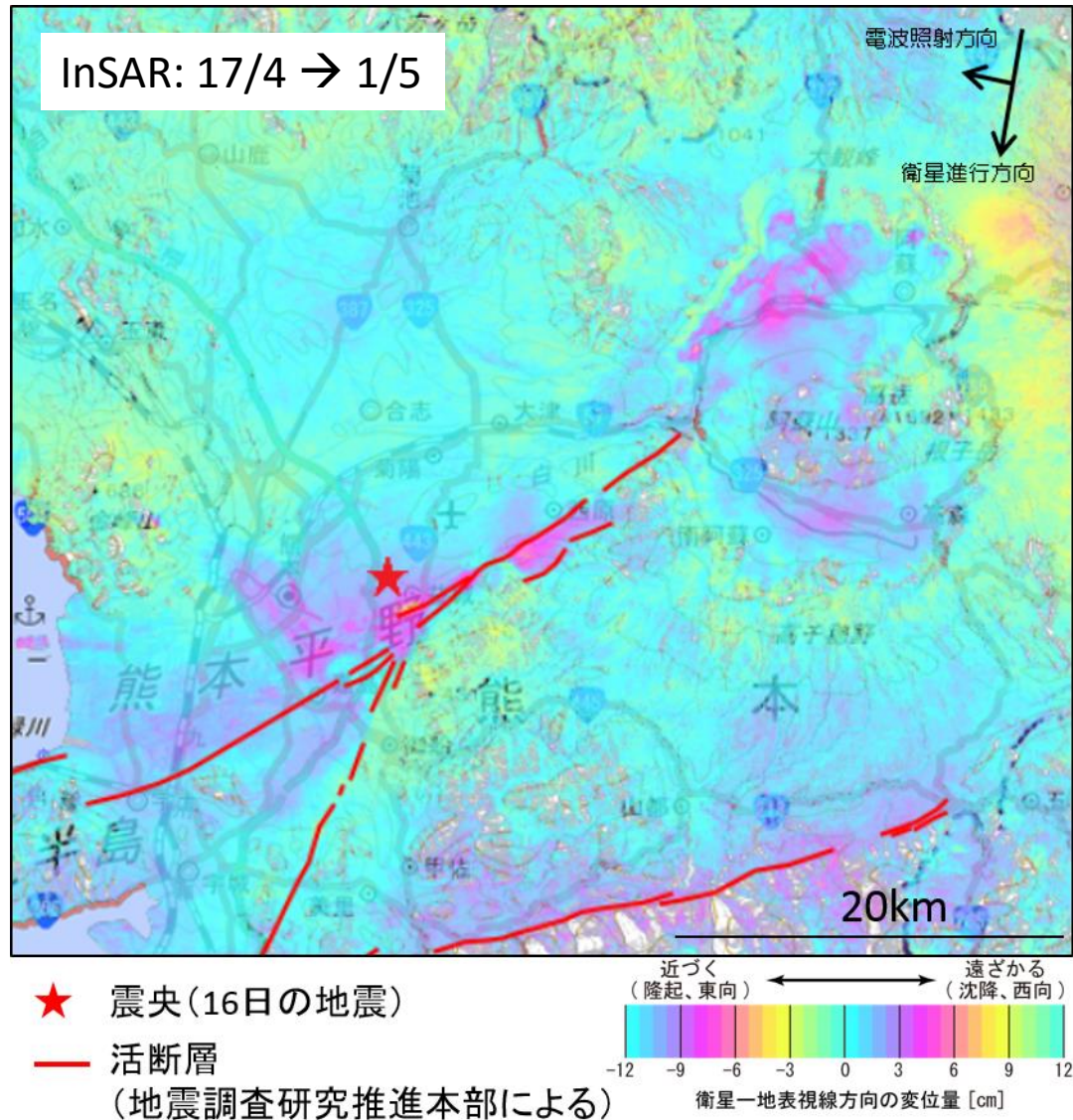


Surface faulting during 2016 Kumamoto Earthquake - Compilation by S. Baize (IRSN)

Slip distribution



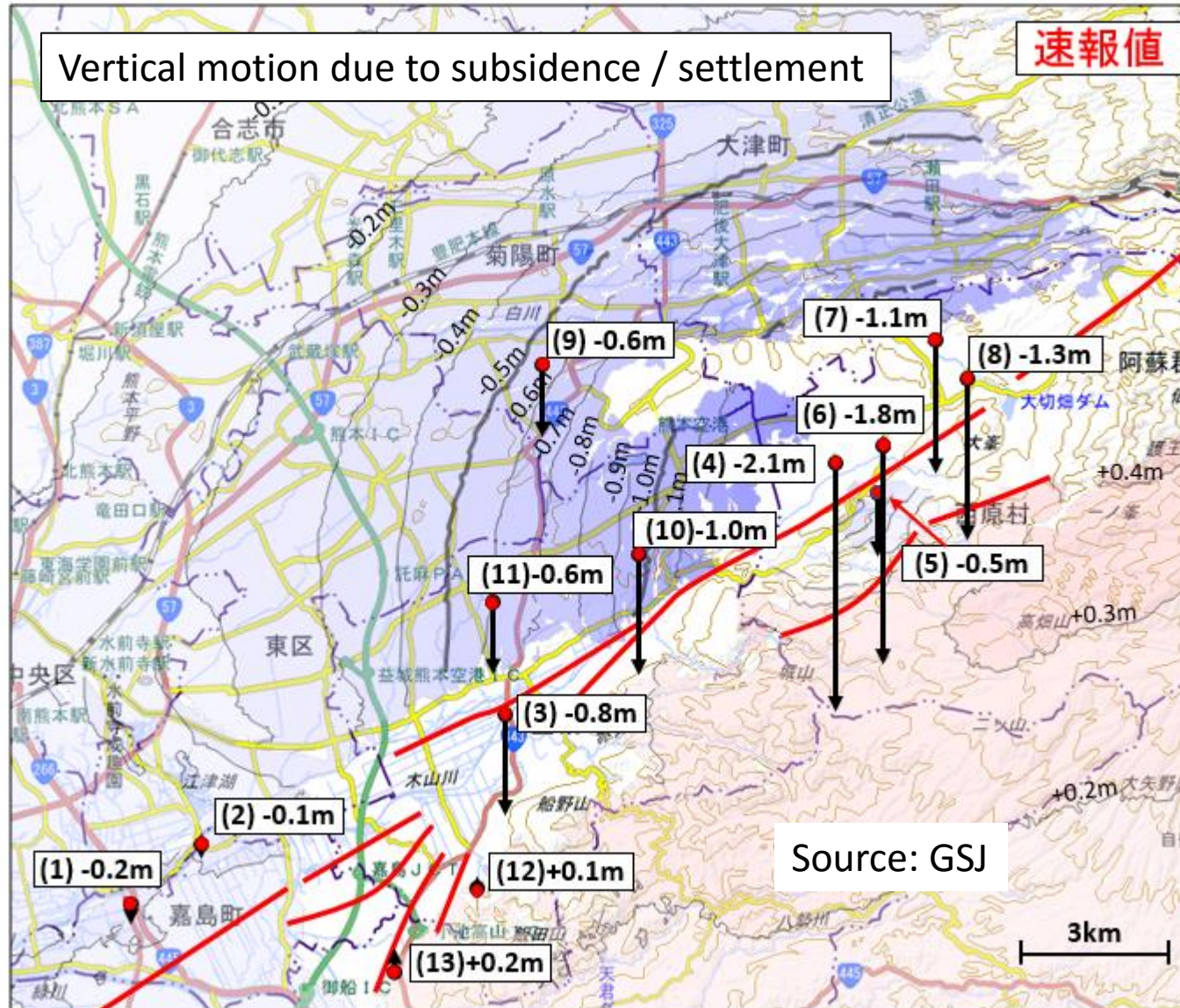
Post-seismic deformation



Source GSI

Post-seismic deformation

GPS campaigns: 21-22/4 → 3-5/5



Landslides

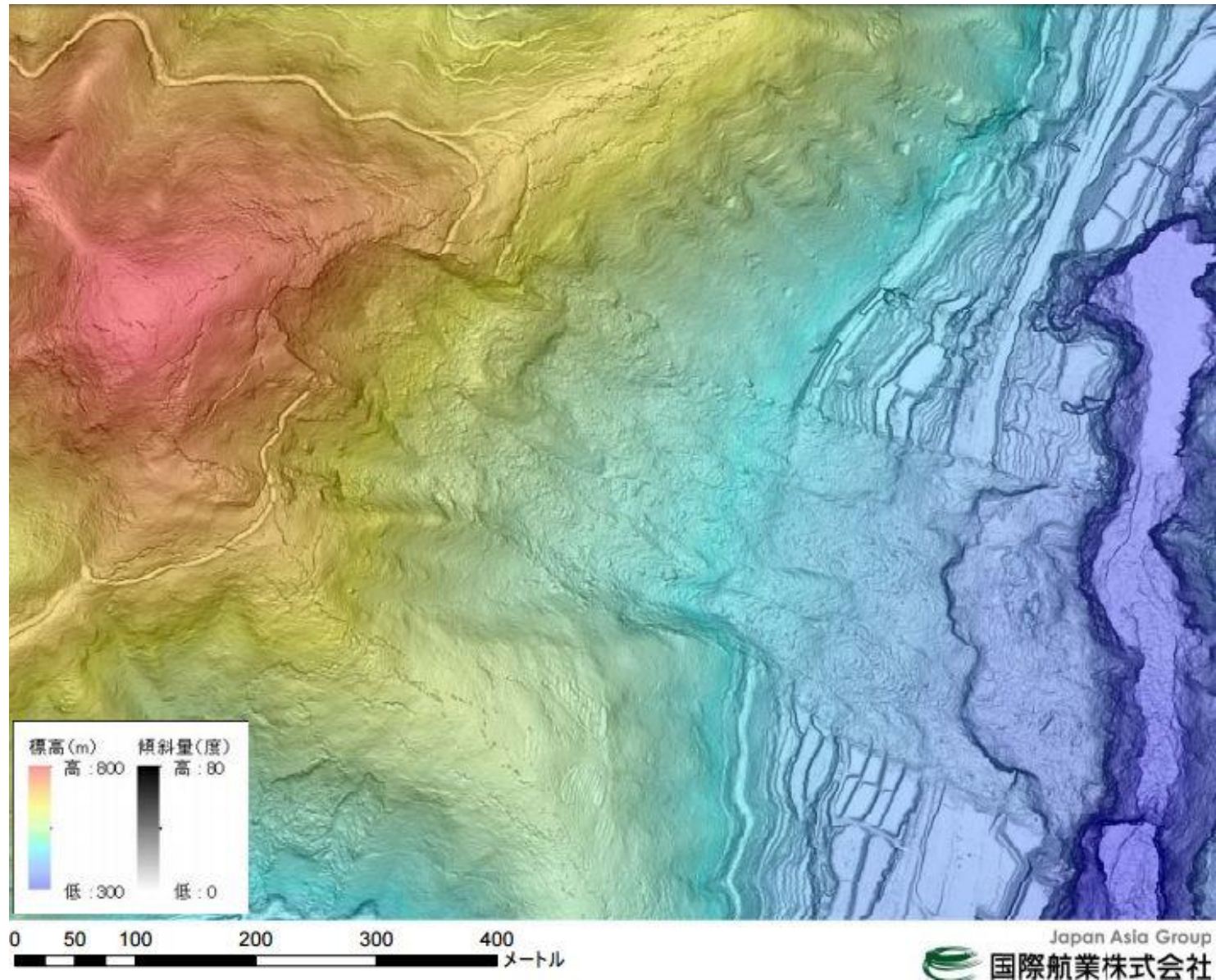


Mimami-Aso

A landslide triggered by the Kumamoto earthquake, via Asia One, that destroyed an important bridge

Airborne LiDAR of the Mimami-Aso landslide

http://www.kkc.co.jp/service/bousai/csr/disaster/201604_kumamoto/



Surface faulting during 2016 Kumamoto
Earthquake - Compilation by S. Baize (IRSN)



Damage to the Kurokawa Dai-ichi Power Station caused by the Kumamoto earthquake, via AFP



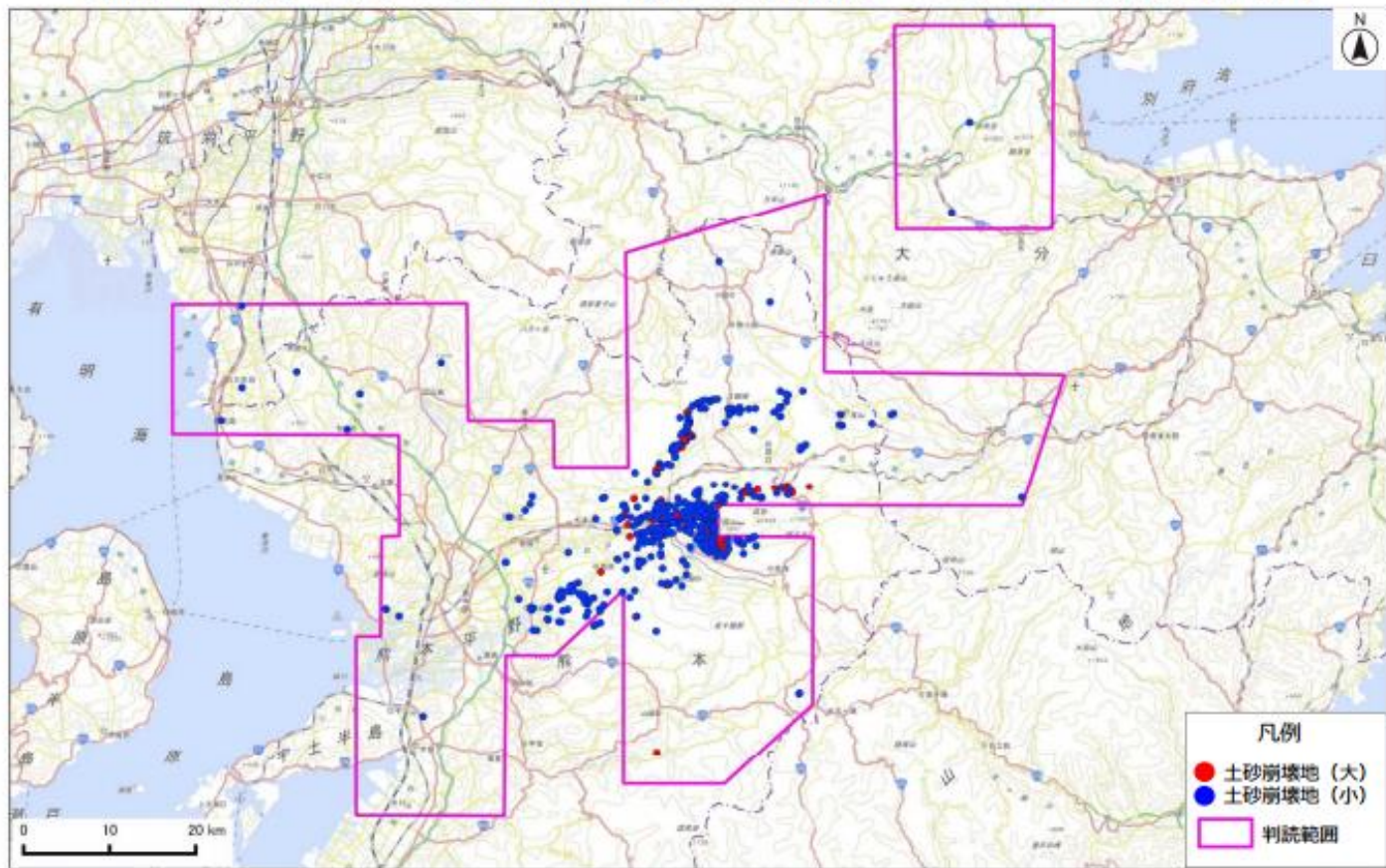
A flowslide triggered by the Kumamoto earthquake, via AP



A major cutslope failure on the Oita Expressway, triggered by the Kumamoto Earthquake, via AP

• Landslide map

平成28年熊本地震・空から見た（航空写真判読による）土砂崩壊地分布図



1. この地図は国土地理院が緊急に撮影した航空写真（4月16日、19日及び20日撮影）から、地震により生じた土砂崩壊地の分布を判読したものです。現地踏査は実施しておらず、実際に崩壊のあった箇所でも把握できていない部分があります。
2. 土砂崩壊地は、急傾斜地の崩壊、地すべり、土石流を1つの項目にまとめて表現しています。
3. 土砂崩壊地（大）はおおむね1ヘクタール（サッカー場）以上、土砂崩壊地（小）はおおむね0.1ヘクタール（50mプール）～1ヘクタールのものを表しています。
4. 土砂崩壊地の中心付近を丸で表しており、土砂崩壊地の形状を表現しているわけではありません。
5. 崩壊が連続的に発生しているものを複数箇所として示している場合があります。
6. 崩壊の発生を確認して、表記しているものであり、保安対象との関係などから土砂災害ではないものも含まれる場合があります。
7. 今後の地震活動、降雨等により、土砂崩壊地の箇所数が増加する可能性があります。
8. 正射画像の表示範囲外に土砂崩壊地が表示されることがありますが、当該地域の航空写真は、垂直写真から確認できます。

Source GSI